



INSTYTUT NAFTY I GAZU

PL 31 - 503 Kraków, ul. Lubicz 25a

Telefon: (012) 4210033 Fax: (012) 4210050

**Zakład Symulacji Źróź Węglowodorów
i Podziemnych Magazynów Gazu**

ODDZIAŁ WARSZAWA
PL 01-224 Warszawa
ul. Kasprzaka 25
Telefon: (022) 6321799
Fax: (022) 6326313

ODDZIAŁ KROSNO
PL 38-400 Krosno
ul. Armii Krajowej 3
Telefon: (013) 4368941
Fax: (013) 4367971

Nr arch.: **DK-4100-263/08**

Zlec. wew. INiG: **375/KZ**

Rozpoznanie formacji i struktur do bezpiecznego geologicznego składowania CO₂ wraz z programem ich monitorowania

Zadanie 1.1.16. Modelowanie dynamiczne procesów zatłaczania CO₂ do składowiska

Struktura złoża gazu ziemnego Łąka



**WYKONANO NA ZAMÓWIENIE MINISTRA
ŚRODOWISKA ZA ŚRODKI FINANSOWE WYPŁACONE
PRZEZ NARODOWY FUNDUSZ OCHRONY
ŚRODOWISKA I GOSPODARKI WODNEJ**

DYREKTOR INSTYTUTU

Krosno, czerwiec 2012

ZLECENIODAWCA: Państwowy Instytut Geologiczny, Państwowy Instytut Badawczy
00-975 Warszawa, ul. Rakowiecka 4

NR UMOWY: 1/2008/SEK
NR ZLEC. WEW.: 375/KZ
OKRES REALIZACJI: 01.2012– 06.2012

KIEROWNIK ZESPOŁU:

Dr Wiesław Szott

KIEROWNIK ZAKŁADU:

Dr Wiesław Szott

ZESPÓŁ AUTORSKI:

Mgr inż. Andrzej Gołąbek

Dr Wiesław Szott

Dr inż. Piotr Łętkowski

Mgr inż. Krzysztof Miłek

Techn. Andrzej Rychlicki

OPRACOWANIE ZAWIERA:

Stron	Rysunków	Fotografii	Wykresów	Tablic	Pozycji bibliograf.	Załączników
63	42	-	-	4	4	-

**Zadanie 1.1.16. Modelowanie dynamiczne procesów zatłaczania CO₂ do składowiska
Struktura złoża gazu ziemnego Łąka**

Spis treści

1. WSTĘP.....	4
2. BUDOWA MODELU SYMULACYJNEGO STRUKTURY ZŁOŻA ŁAKTA.....	6
2.1. TABELI I RYSUNKI DO ROZDZIAŁU 2	8
3. WERYFIKACJA MODELU SYMULACYJNEGO STRUKTURY ŁAKTA W UTWORACH CENOMANU I MALMU.....	14
3.1. RYSUNKI DO ROZDZIAŁU 3	15
4. SYMULACJE PROCESÓW SEKWESTRACJI CO₂ W ZŁOŻU ŁAKTA.....	29
4.1. RYSUNKI DO ROZDZIAŁU 4	34
5. PODSUMOWANIE I WNIOSKI.....	61
6. LITERATURA	63

1. Wstęp

Niniejsza praca jest wynikiem realizacji Zadania 1.1.16 w ramach umowy wykonawczej nr 1/2008/SEK z dnia 29 grudnia 2008 zawartej pomiędzy Państwowym Instytutem Geologicznym a Instytutem Nafty i Gazu w związku z uzyskaniem zamówienia od Ministerstwa Środowiska na wykonanie pracy pod nazwą „Rozpoznanie formacji i struktur do bezpiecznego geologicznego składowania CO₂ wraz z ich programem monitorowania”.

Tytuł Zadania to: „Modelowanie dynamiczne procesów zatłaczania CO₂ do składowiska”. Odnosi się ono do struktury złoża gazu ziemnego Łąka wybranej uprzednio przez Radę Programową Konsorcjum realizującego Zamówienia Ministerstwa Środowiska jako potencjalne składowisko w strukturach naftowych.

W ramach niniejszej pracy dokonano implementacji statycznego (geologicznego) modelu struktury złoża gazu ziemnego i konstrukcji pełnoskalowego (o wymiarach ok. 18.9 km × 41.3 km), trójwymiarowego modelu złożowego tej struktury (w utworach malmu i cenomanu). Wykorzystano model geologiczny skonstruowany i skalibrowany w pracy [1]. Model geologiczny struktury uzupełniono o elementy niezbędne do przeprowadzenia wielowariantowych i długoczasowych symulacji eksploatacji złoża z równoczesną sekwestracją dwutlenku węgla tj. własności transportowe w układzie skała-płynny złożowe, termodynamiczne własności płynów złożowych i ich wzajemne oddziaływanie.

Celem pracy było zweryfikowanie możliwości wykorzystania struktury dla potrzeb sekwestracji dwutlenku węgla.

W pracy przedstawiono prognozy sekwestracji CO₂ dla 4 scenariuszy różniących się systemem odwiertów zatłaczających oraz kryteriami limitującymi proces sekwestracji.

We wszystkich przypadkach symulowano również zachowanie się płynów złożowych w okresie relaksacji tj. 1000 lat po zakończeniu zatłaczania.

W pracy przedstawiono również analizę wpływu zatłaczania CO₂ do struktury złoża na wielkość wydobycia gazu. Jednak podstawowym kryterium efektywności procesu

była maksymalizacja pojemności sekwestracyjnej rozpatrywanej struktury. W pracy wykorzystano narzędzia programistyczne do modelowania i symulacji z pakietów Petrel i Eclipse 300 firmy GeoQuest Schlumberger [2].

2. Budowa modelu symulacyjnego struktury złoża Łąka

Model symulacyjny omawianej struktury skonstruowano w oparciu o model geologiczny zbudowany w pracy [1]. Model ten obejmuje horyzont zbiornikowy w utworach dolomitycznych i wapiennych malmu oraz piaskowcowych cenomanu. W modelu uwzględniono warstwy podścielające horyzont zbiornikowy celem poprawnego uwzględnienia napływu wody podścielającej złoża gazu. Model swoim zasięgiem obejmował również strefy wód okalających złoża. W efekcie otrzymano wielowarstwowy system bloków modelu o wymiarach $124 \times 64 \times 14$ (Rys. 2.1).

Własności PVT płynów złożowych

Płyny złożowe obecne w omawianej strukturze to gaz ziemny oraz woda złożowa. Średni skład chemiczny gazu ziemnego wyliczony w oparciu o analizy próbek pobranych z kilku otworów złoża podano w Tabeli 2.1. Ze względu na kompozycyjny charakter użytego modelu symulacyjnego, przy pomocy programu PVTsim [3] wygenerowano parametry równania stanu Penga-Robinsona, które przedstawiono w Tabeli 2.2. W celu ograniczenia złożoności systemu płynów złożowych pogrupowano składniki węglowodorowe i zastąpiono je pseudo-składnikami $PC_1(C_1+N_2)$, $PC_2(C_2+C_3)$, $PC_3(C_4+C_5+C_6)$, i C_{7+} .

Własności wody złożowej przyjęto na podstawie danych pochodzących z próbek wydobytej wody. Własności te dla warunków złożowych, tj. $T_{zł} = 69.8^\circ\text{C}$, $P_{zł} = 238.5$ bar to:

- gęstość: $\rho_w = 1072.5 \text{ kg / Nm}^3$,
- współczynnik objętościowy: $B_w = 1.01 \text{ m}^3 / \text{m}^3$,
- ściśliwość: $c_w = 4 \times 10^{-5} 1/\text{bar}$,
- lepkość: 0.3 cP.

Własności transportowe w systemie płyny-skała złożowa

Oddziaływanie gazu i wody złożowej ze skałą scharakteryzowano poprzez podanie krzywych przepuszczalności względnych, k_{rg} i k_{rw} .

Dla przepuszczalności względnych, wobec braku odpowiednich pomiarów, użyto typowych zależności k_{rw} , k_{rg} od nasycień zredukowanych, odpowiednio S_w^* i S_g^* , gdzie: zredukowane nasycenie wodą

$$S_w^* = \frac{S_w - S_{w, \min}}{1 - S_{w, \min}}$$

S_w – nasycenie wodą,

$S_{w, \min} = S_{wr}$ – nieredukowalne nasycenie wodą, $S_{wr} = 0.22$

oraz zredukowane nasycenie gazem:

$$S_g^* = \frac{S_g - S_{gr}}{1 - S_{w, \min} - S_{gr}}$$

gdzie: S_{gr} – rezydualne nasycenie gazem, $S_{gr} = 0.13$.

Użyte korelacje przedstawiono na Rys. 2.2.

Rozpuszczalność CO₂ w wodzie

Dla poprawnego modelowania procesów zachodzących podczas składowania CO₂ w modelu symulacyjnym omawianej struktury uwzględniono rozpuszczalność dwutlenku węgla w wodzie. Wartości rozpuszczalności określono jako typowe w oparciu o dane laboratoryjne wykonane w laboratorium PVT Instytutu Nafty i Gazu [4]. Dla ich odtworzenia przyjęto zasolenie wody złożowej wyrażone molalnością równą 1.72. Uzyskane wartości rozpuszczalności dwutlenku węgla w wodzie, R_{s, CO_2} podano w Tabeli 2.3 dla temperatury złożowej i zmiennych ciśnień złożowych.

2.1. Tabele i rysunki do Rozdziału 2

Tabela 2.1. Złoże Łąka. Skład chemiczny gazu ziemnego

Składnik	% mol.
N ₂	3.550
CO ₂	0.000
C ₁	92.355
C ₂	1.480
C ₃	0.562
iC ₄	0.134
nC ₄	0.257
iC ₅	0.006
nC ₅	0.006
C ₆	0.183
C ₇	0.500
C ₈	0.329
C ₉	0.217
C ₁₀	0.143
C ₁₁	0.094
C ₁₂	0.062
C ₁₃	0.041
C ₁₄	0.027
C ₁₅	0.018
C ₁₆	0.012
C ₁₇	0.008
C ₁₈ -C ₃₈	0.015

Tabela 2.2. Złoże Łąka.
a) Parametry równania stanu PR, b) Współczynniki binarne

a)

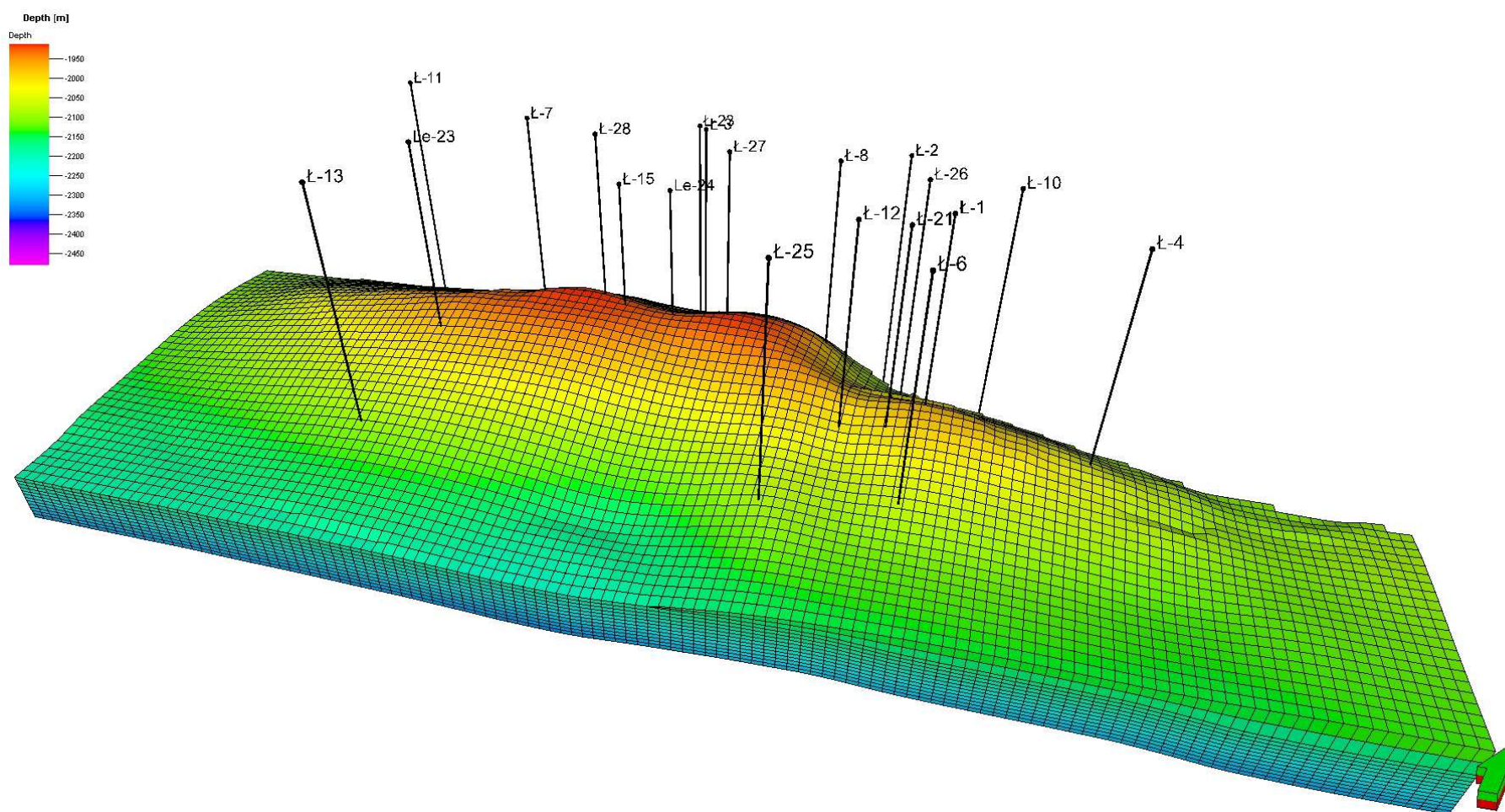
Składnik	T_{kryt} [K]	P_{kryt} [bar]	ω	Mw	Z_{kryt}	V_{kryt}	T_{boil}	Ω_A	Ω_B	Parachora
PC₁	186.549	45.243	0.010	16.486	0.287	0.098	109.449	0.427	0.087	75.017
PC₂	328.445	46.554	0.117	33.932	0.286	0.168	201.240	0.427	0.087	124.287
PC₃	455.662	34.272	0.232	67.185	0.275	0.304	298.929	0.427	0.087	222.315
CO₂	304.200	73.765	0.225	44.010	0.274	0.094	194.650	0.427	0.087	78.000
C₇₊	590.234	24.404	0.561	120.717	0.278	0.559	423.681	0.427	0.087	362.051

b)

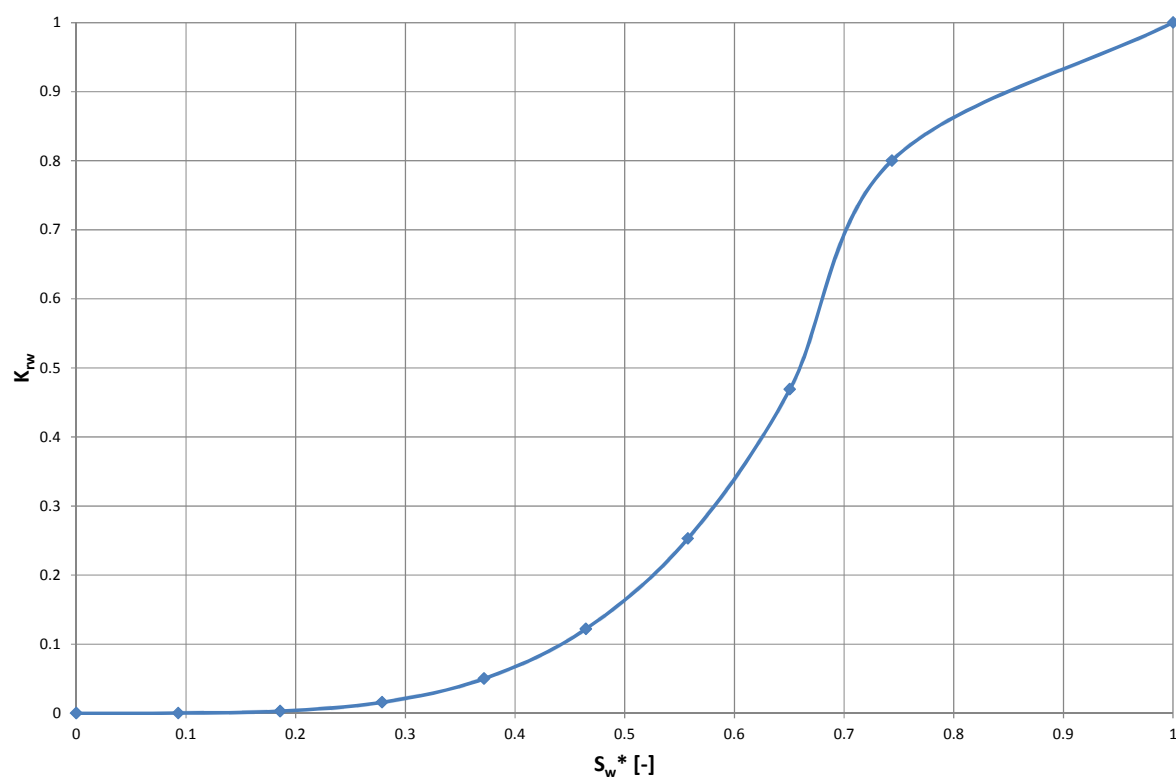
Składnik	PC₁	PC₂	PC₃	CO₂	C₇₊
PC₁	-	-	-	-	-
PC₂	0.0019	-	-	-	-
PC₃	0.0029	0	-	-	-
CO₂	0.1144	0.12	0.12	-	-
C₇₊	0.003	0	0	0.1	-

Tabela 2.3. Złoże Łąka. Rozpuszczalność CO₂ w wodzie złożowej dla temperatury złożowej.

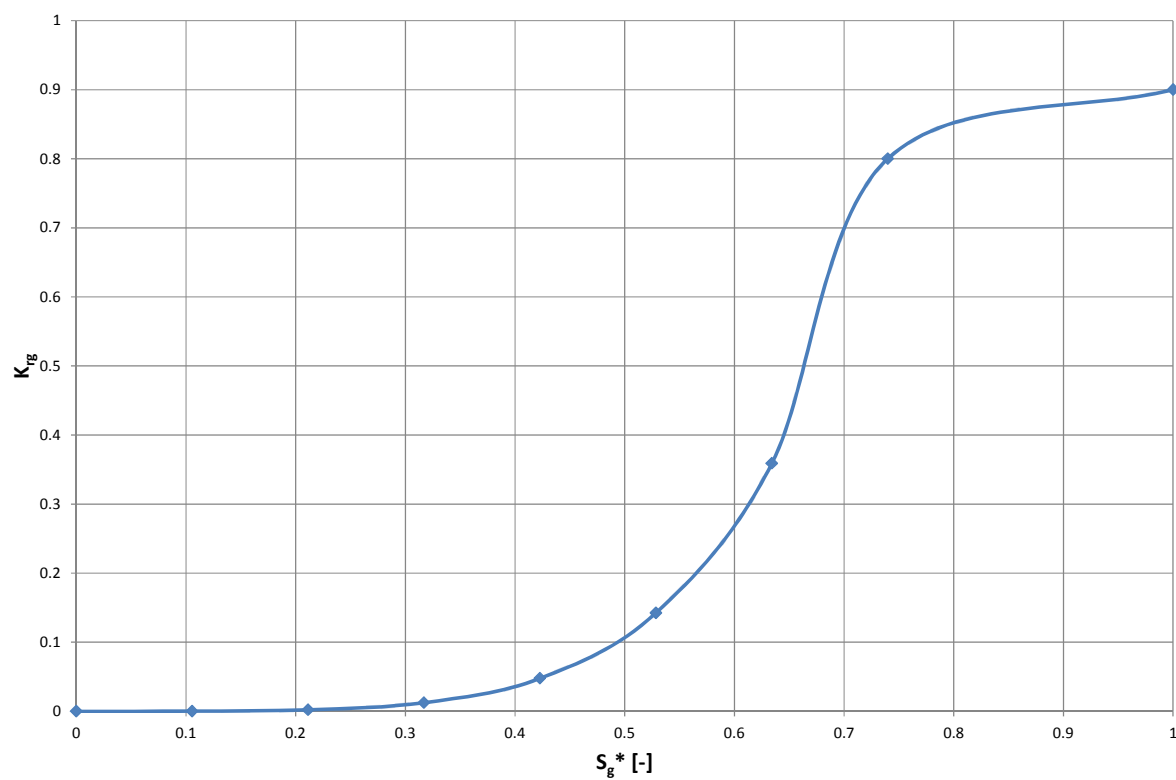
P [bar]	R_{s,CO2} [Nm³/Nm³]
1.013	0.282
54.29	10.96
107.6	16.54
160.8	19.63
214.1	21.47
267.4	22.66
320.7	23.52



Rys. 2.1. Widok przestrzenny modelu symulacyjnego struktury złoża Łąka.



Rys. 2.2a. Złoże Łąka. Przepuszczalność względna wody, k_{rw} .



Rys. 2.2b. Złoże Łąka. Przepuszczalność względna gazu, k_{rg} .

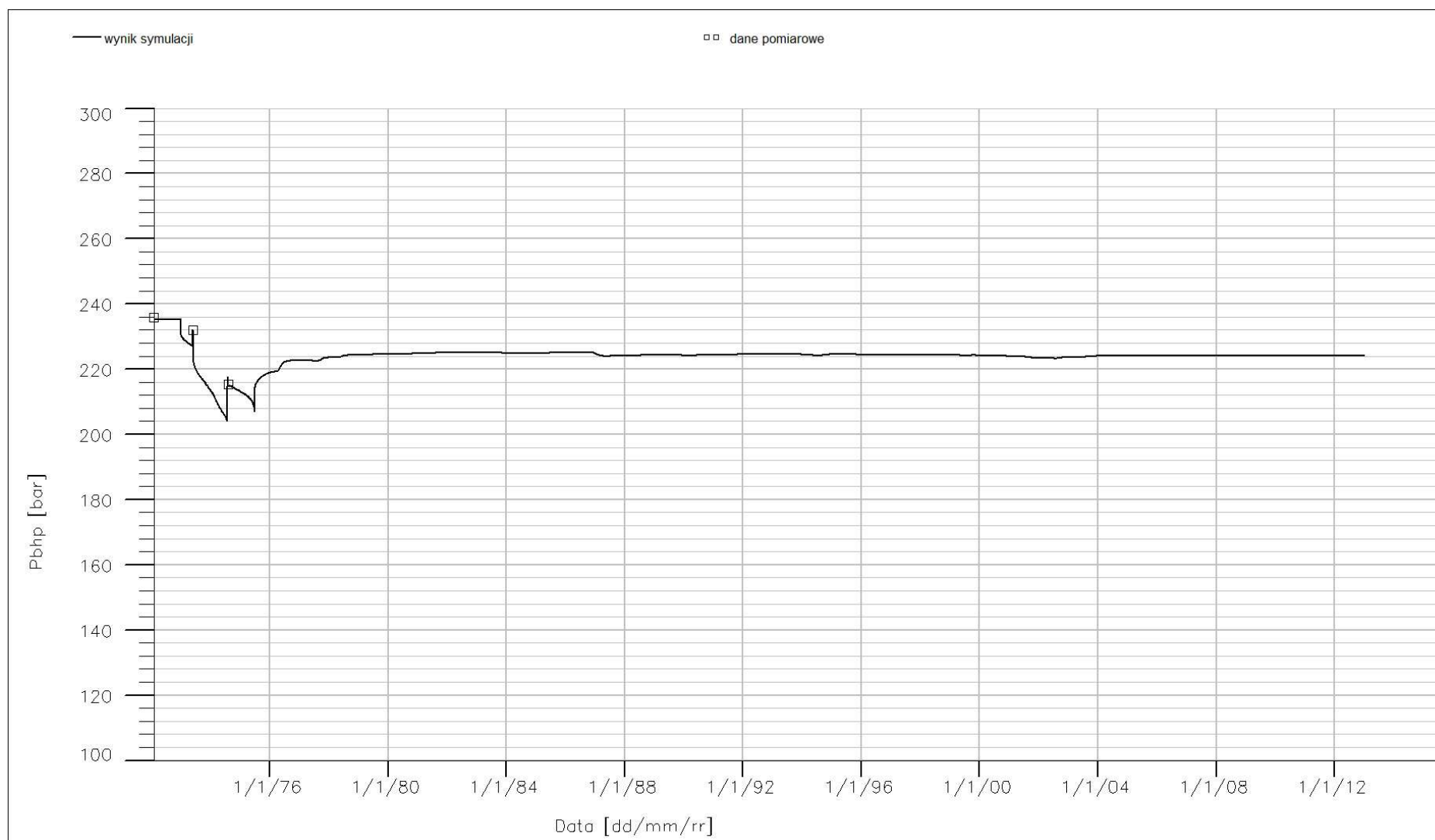
3. Weryfikacja modelu symulacyjnego struktury Łąka w utworach cenomanu i malmu

Do weryfikacji omawianego modelu symulacyjnego użyto danych eksploatacyjnych z dotychczasowej pracy złoża w okresie: II.1972 – VI.2003. Wykorzystano dane w postaci miesięcznego wydobycia gazu, wody i kondensatu, czasu pracy odwiertów oraz ciśnień dennych statycznych (zmierzonych lub obliczonych z ciśnień głowicowych). W pierwszym kroku kalibracji zbudowanego modelu symulacyjnego odtworzono pierwotne zasoby geologiczne złoża oraz ciśnienie początkowe. W kolejnym dopasowano ciśnienie denne panujące na spodzie odwiertów eksploatujących.

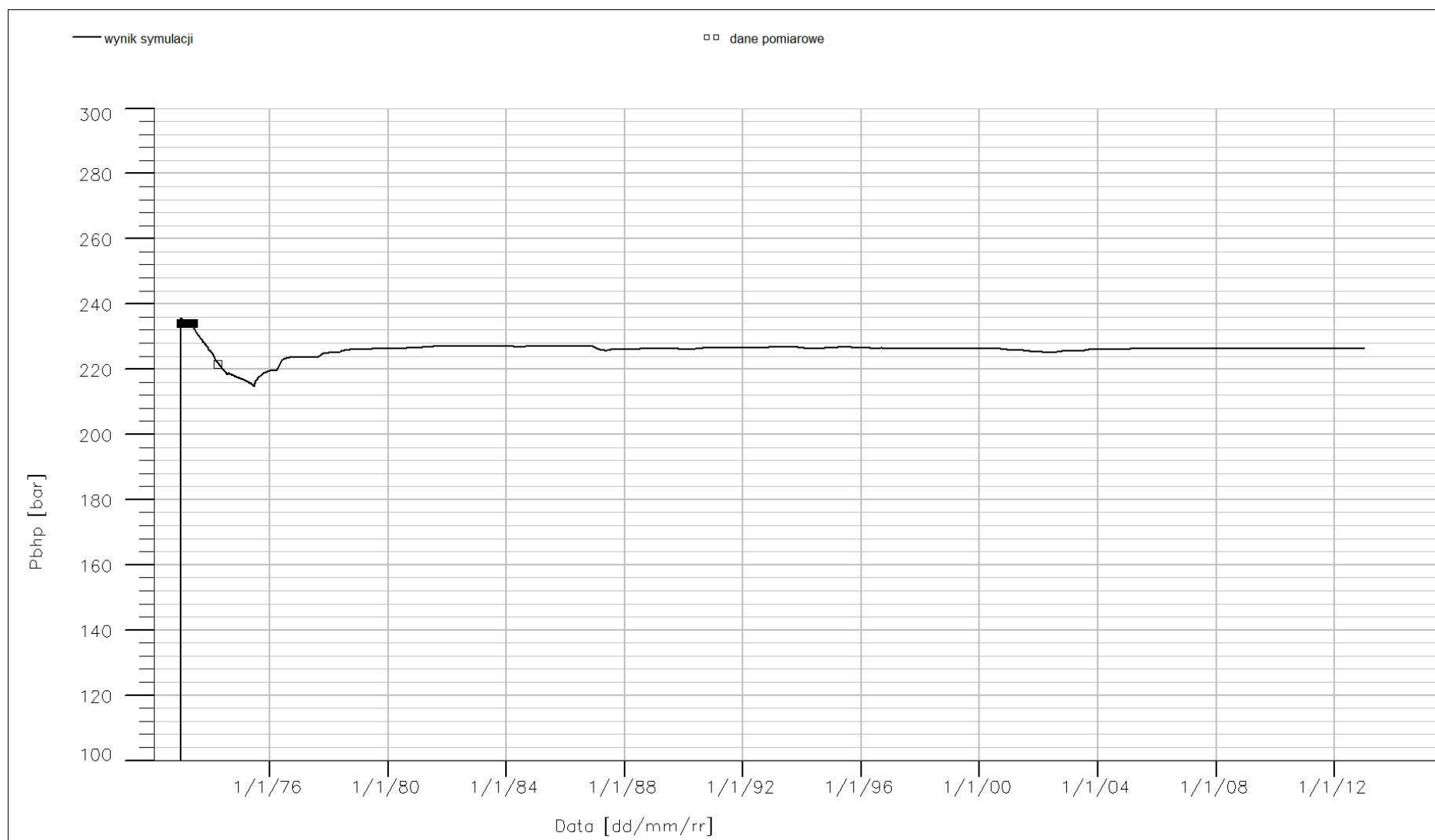
Uzyskano bardzo dobrą zgodność ciśnień obliczonych ze zmierzonymi: (Rys. 3.1 – 3.8). Odtworzono również wykładniki kondensatowe (Rys. 3.9 – 3.13). W zakresie przepływów wody złożowej odtworzono momenty zawadniania się odwiertów oraz przemieszczanie się konturu gaz-woda na stropie złoża.

Uzyskane efekty kalibracji potwierdzają wiarygodność skonstruowanego modelu symulacyjnego złoża gazu ziemnego Łąka i gwarantują poprawność wyników prognoz jego funkcjonowania przedstawionych w kolejnych rozdziałach.

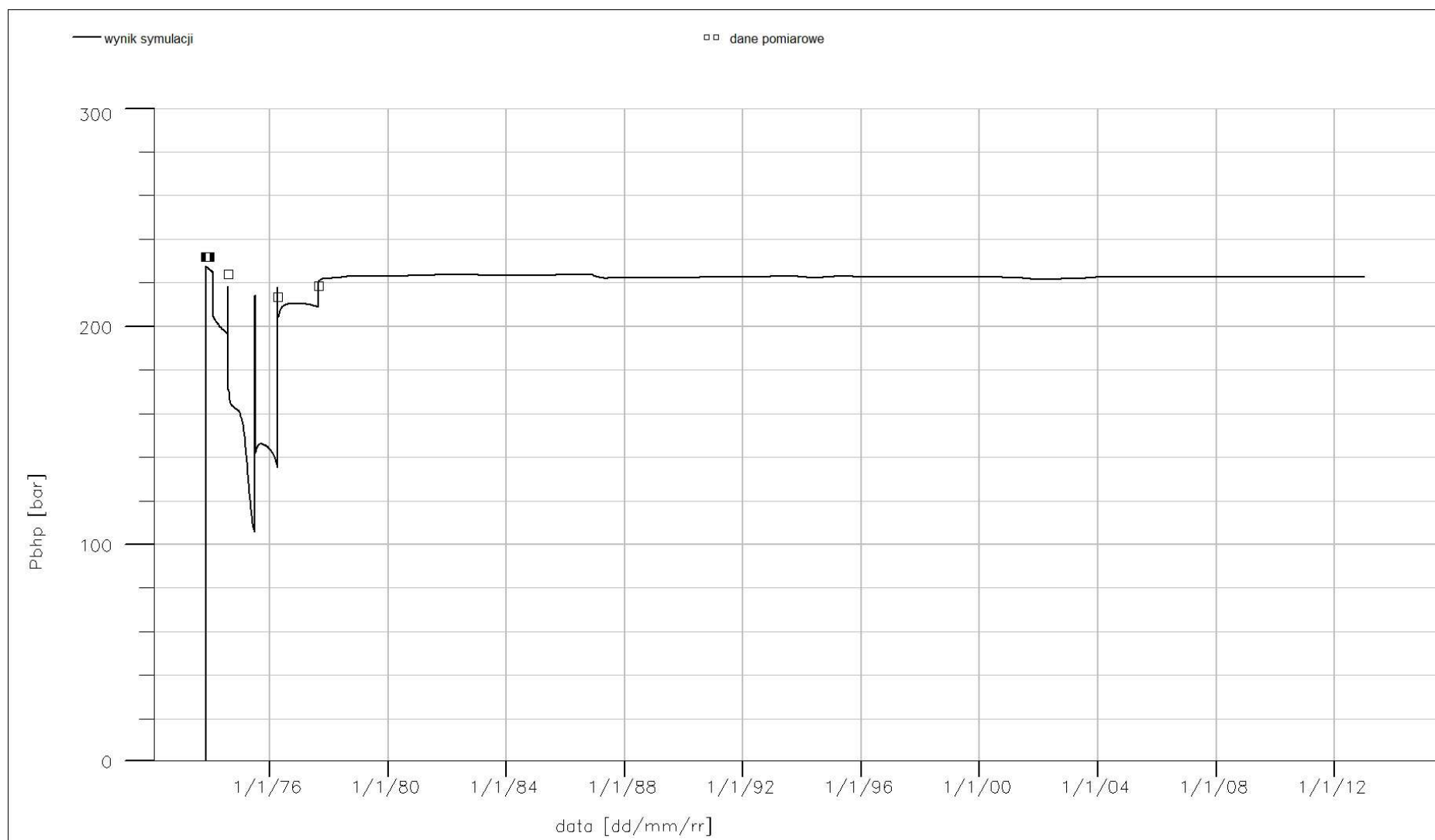
3.1. Rysunki do Rozdziału 3



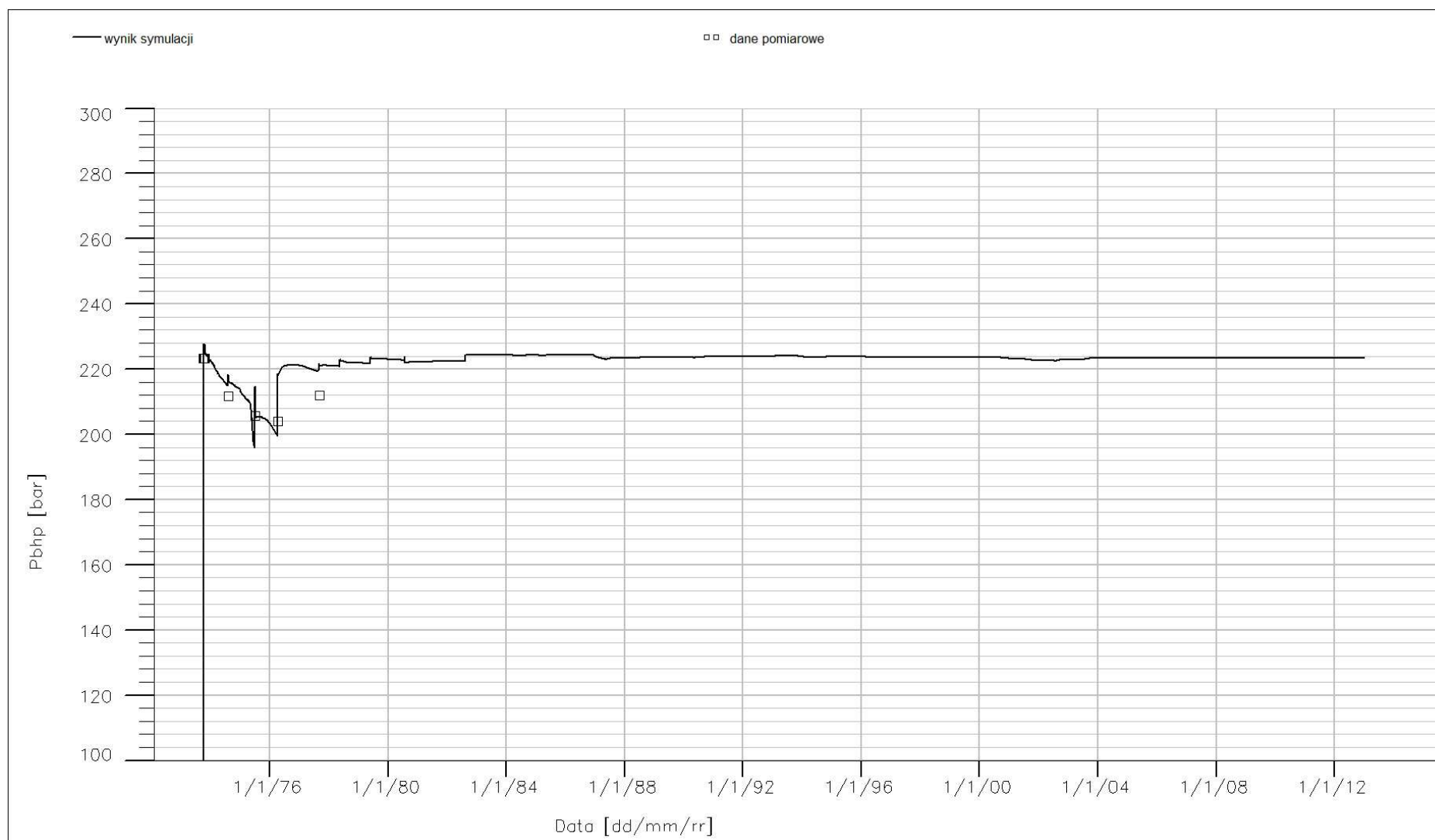
Rys. 3.1. Złoże Łąka. Odwiert Łąka-1. Ciśnienie na spodzie odwiertu, P_{BHP} .



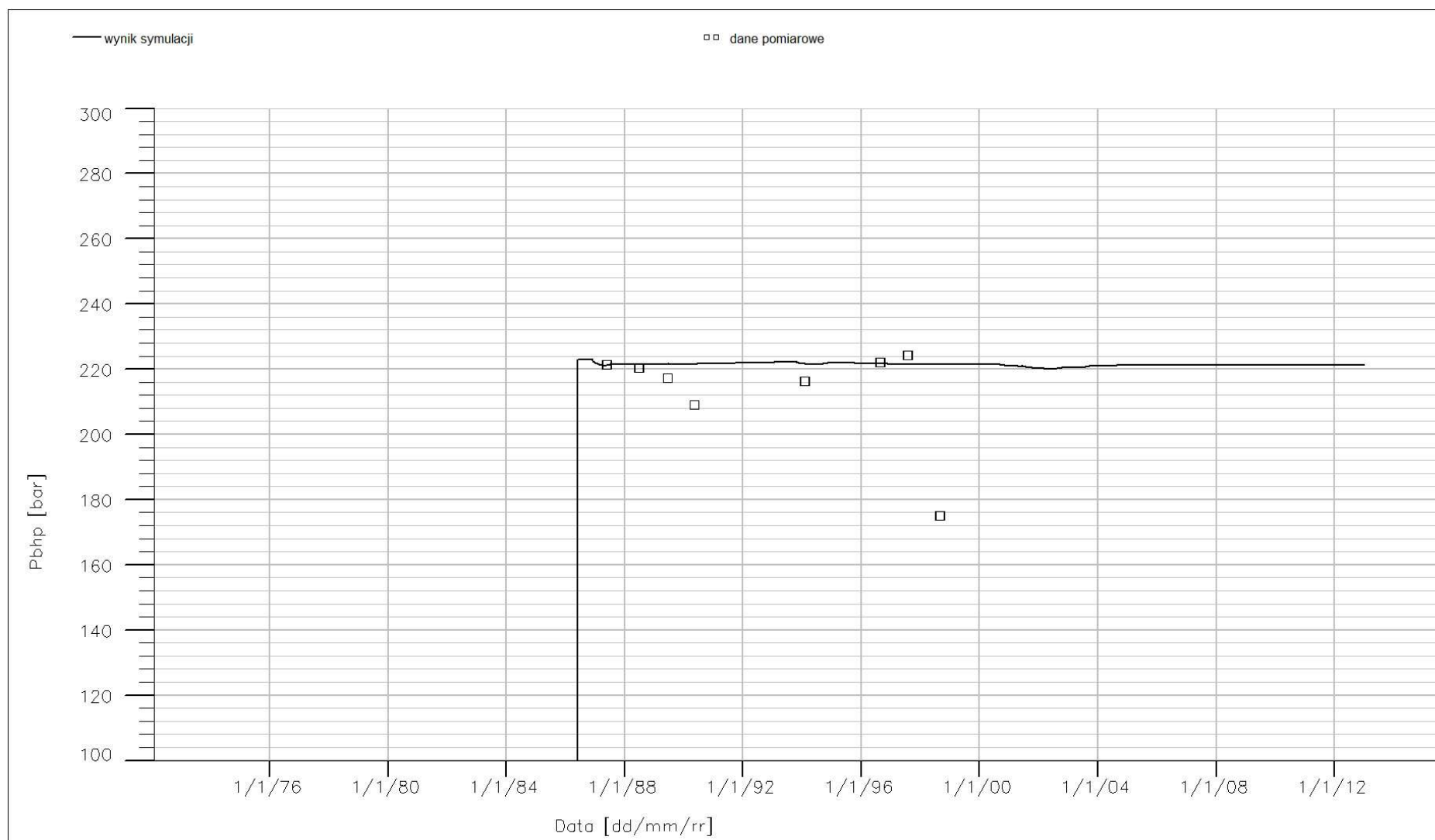
Rys. 3.2. Złoże Łąka. Odwiert Łąka-3. Ciśnienie na spodzie odwiertu, P_{BHP} .



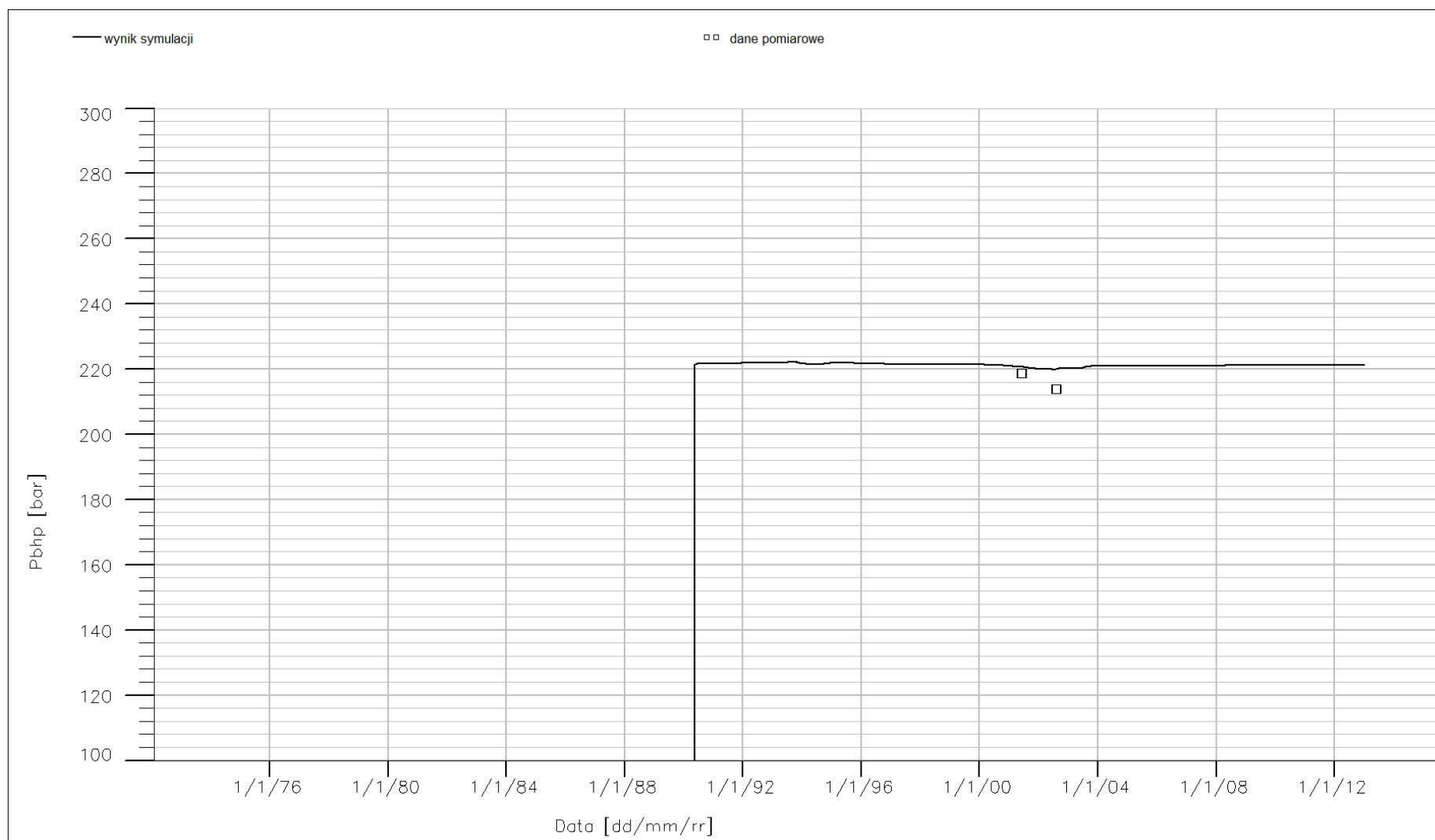
Rys. 3.3. Złoże Łąka. Odwiert Łąka-7. Ciśnienie na spodzie odwiertu, P_{BHP} .



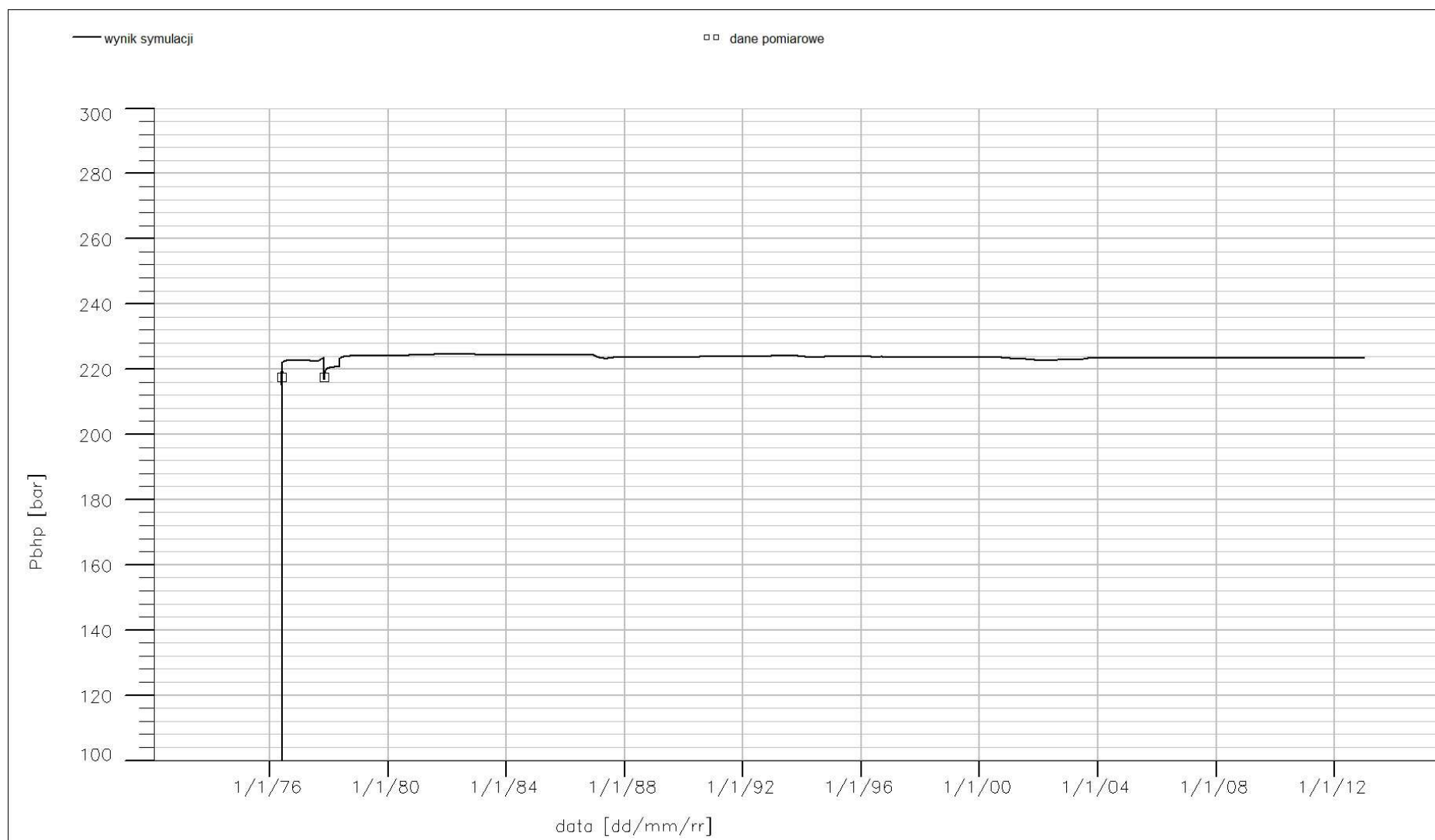
Rys. 3.4. Złoże Łąka. Odwiert Łąka-8. Ciśnienie na spodzie odwiertu, P_{BHP} .



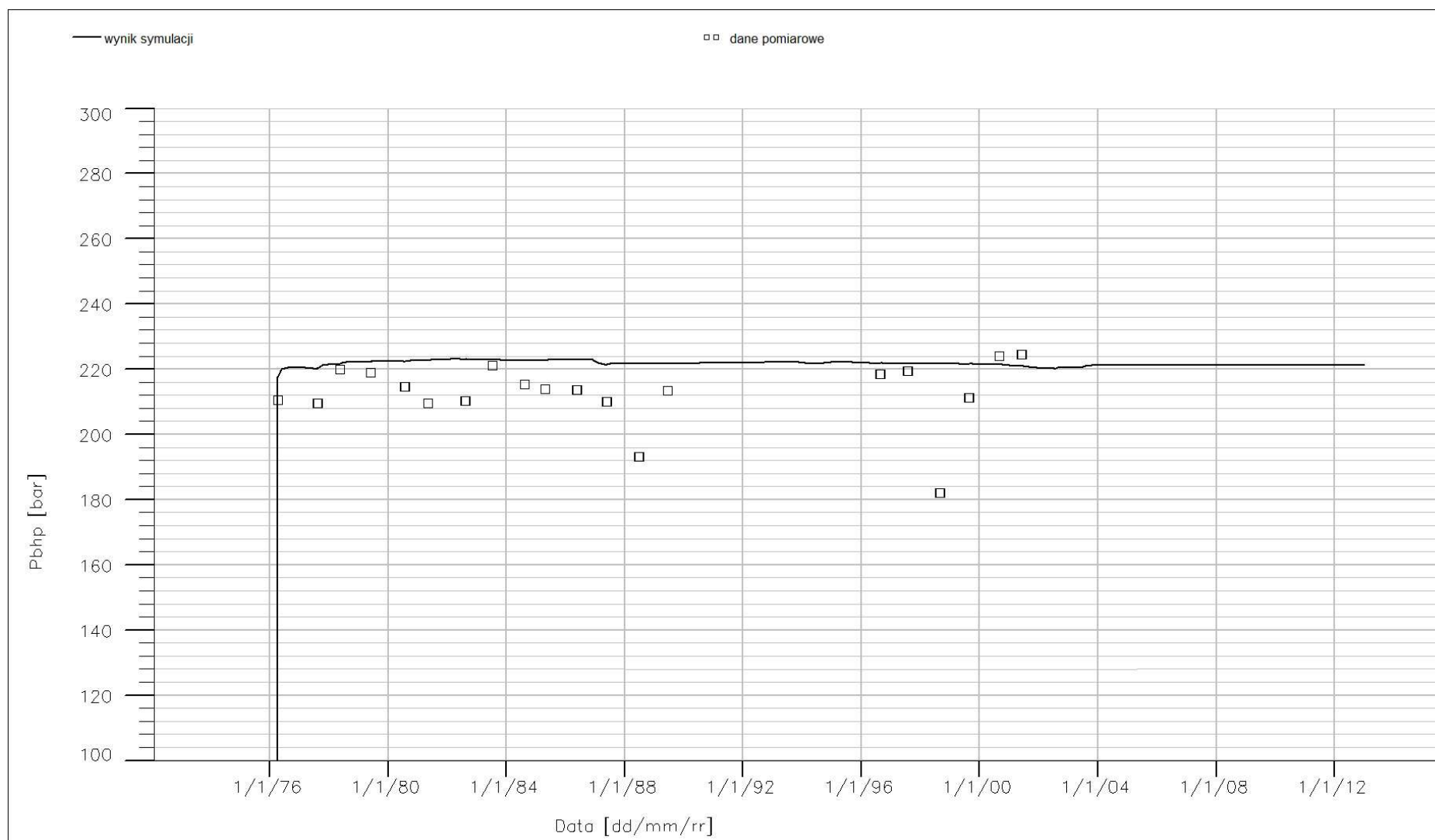
Rys. 3.5. Złoże Łąka. Odwiert Łąka-27. Ciśnienie na spodzie odwiertu, P_{BHP} .



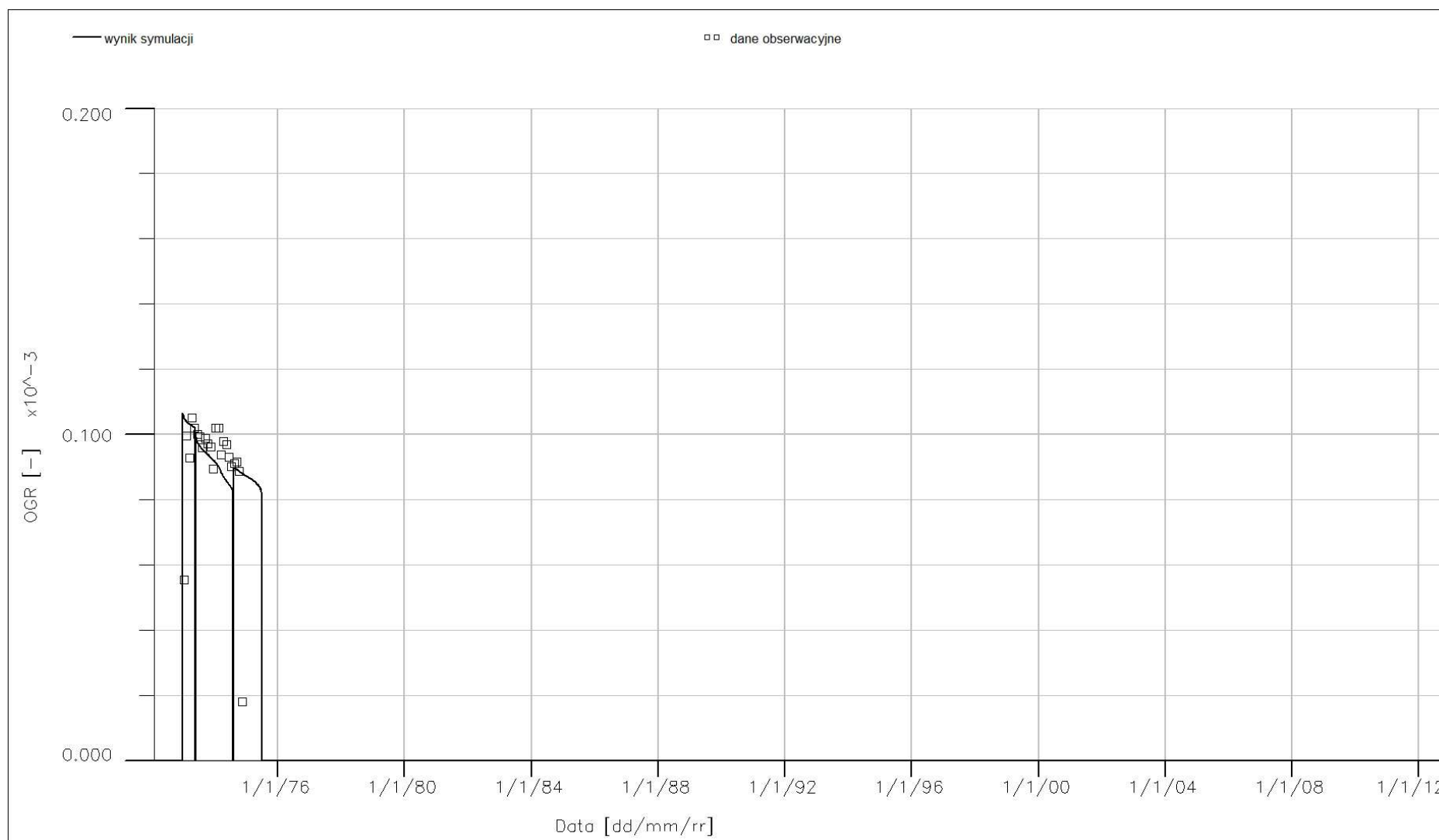
Rys. 3.6. Złoże Łąka. Odwiert Łąka-28. Ciśnienie na spodzie odwiertu, P_{BHP} .



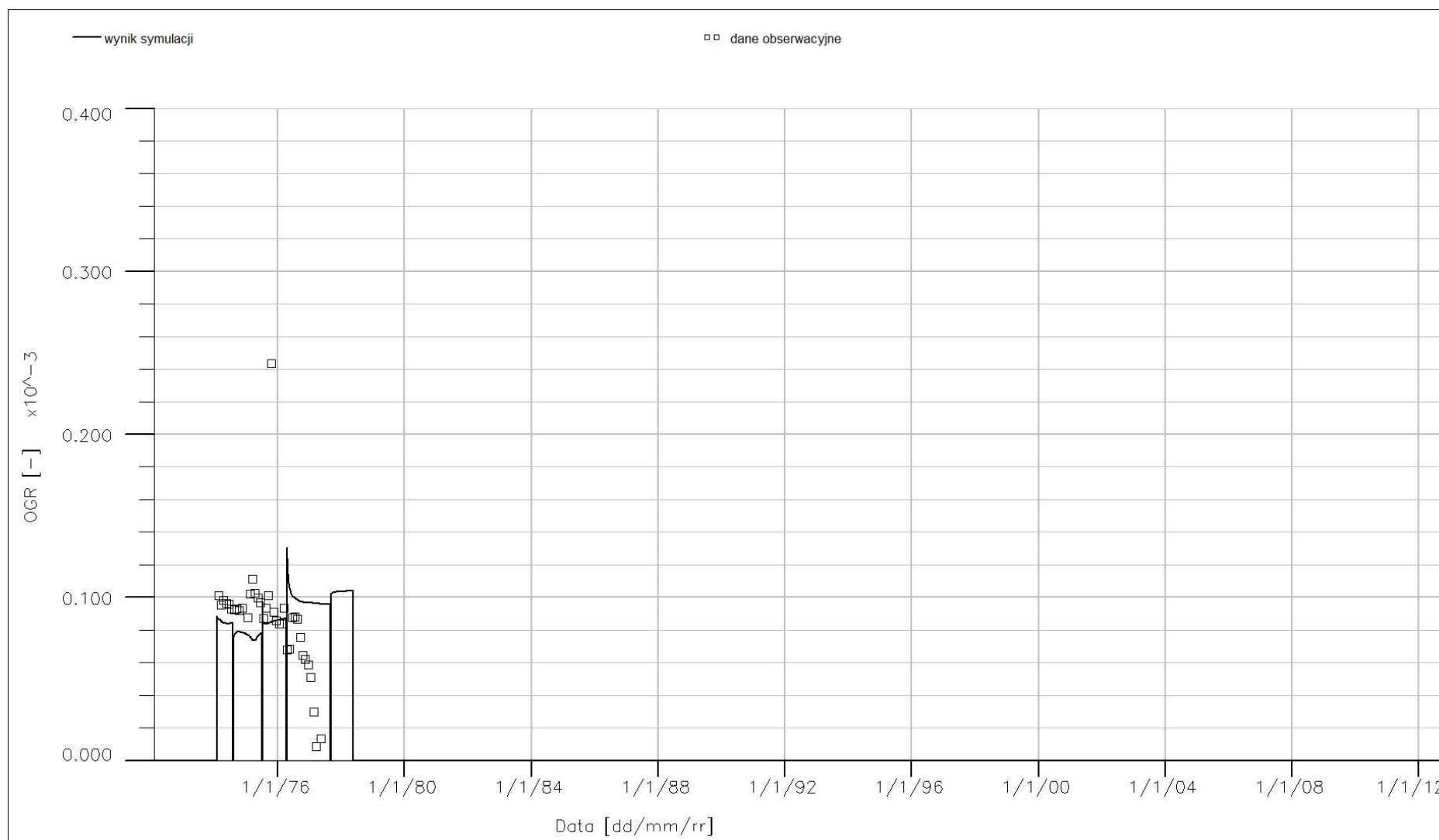
Rys. 3.7. Złoże Łąka. Odwiert Leszczyna-23. Ciśnienie na spodzie odwiertu, P_{BHP} .



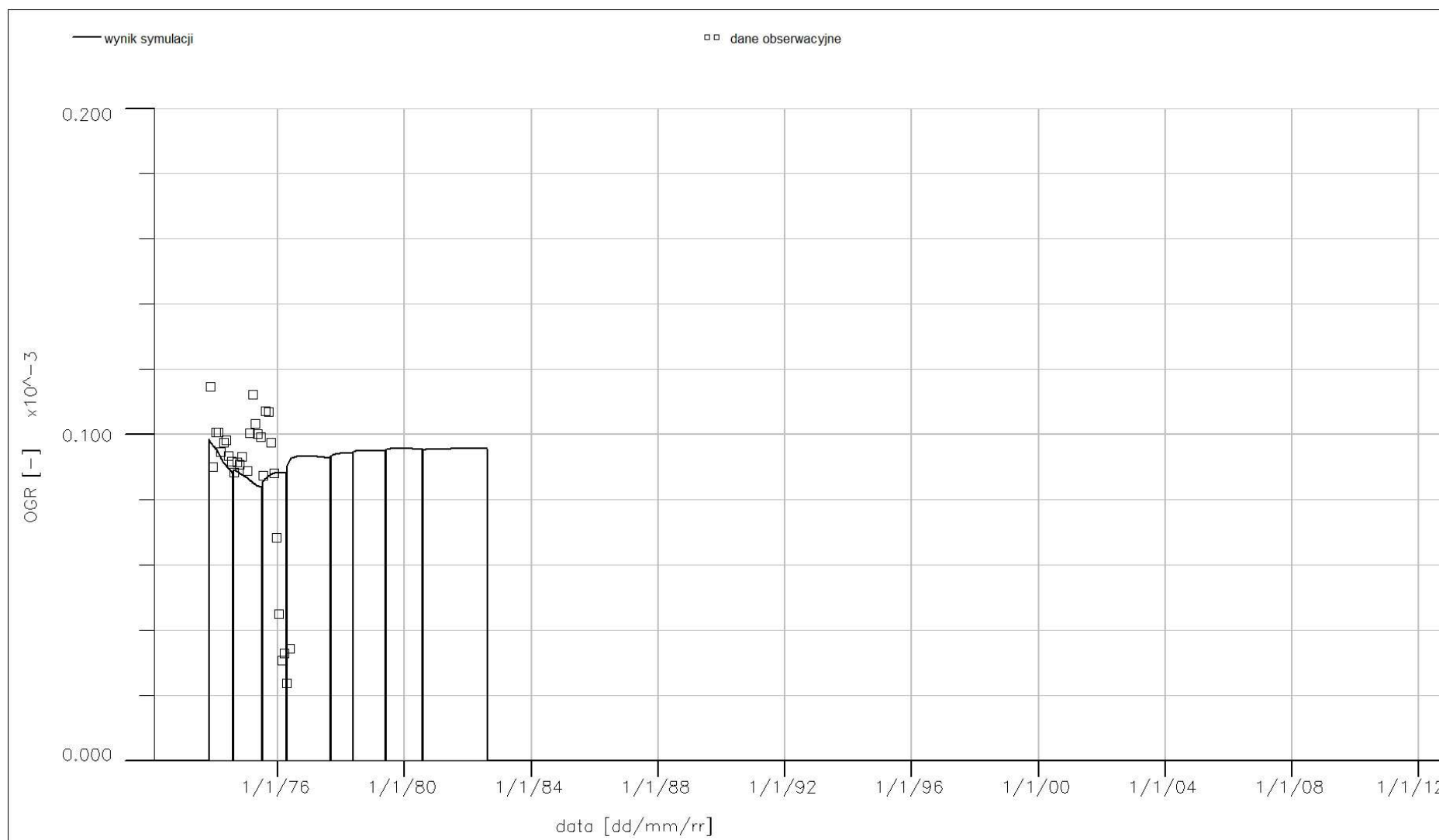
Rys. 3.8. Złoże Łąka. Odwiert Leszczyna-24. Ciśnienie na spodzie odwiertu, P_{BHP} .



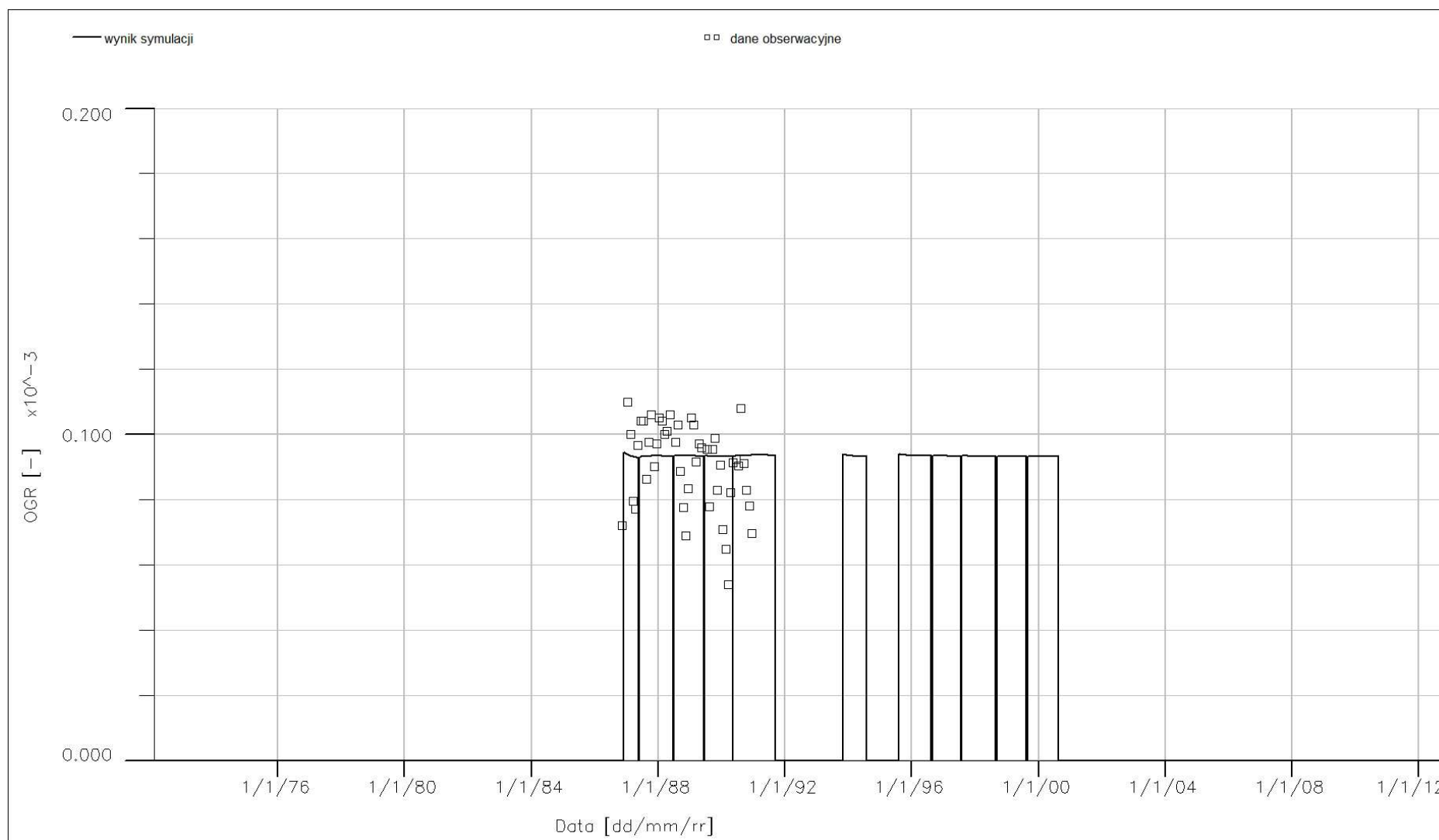
Rys. 3.9. Złoże Łąka. Odwiert Łąka-1. Wykładnik kondensatowy, OGR.



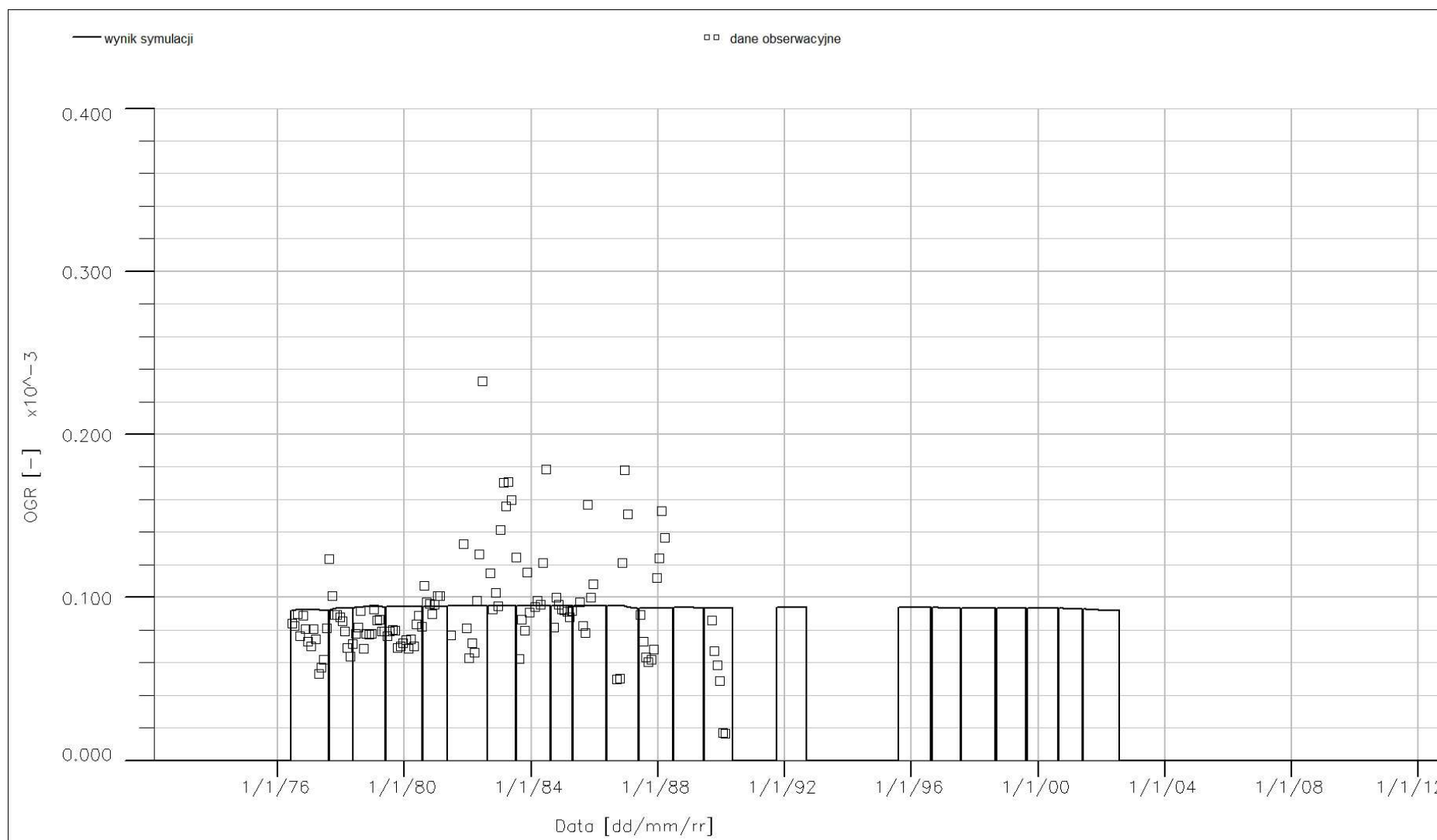
Rys. 3.10. Złoże Łąka. Odwiert Łąka-7. Wykładnik kondensatowy, OGR.



Rys. 3.11. Złoże Łąka. Odwiert Łąka-8. Wykładnik kondensatowy, OGR.



Rys. 3.12. Złoże Łąka. Odwiert Łąka-27. Wykładnik kondensatowy, OGR.



Rys. 3.13. Złoże Łąka. Odwiert Leszczyna-24. Wykładnik kondensatowy, OGR.

4. Symulacje procesów sekwestracji CO₂ w złożu Łąka

Ze względu na pozostałe w złożu zasoby gazu ziemnego oraz wysoką aktywność wód złożowych przejawiającą się zawodnieniem znacznej części pierwotnej czapy gazowej proces sekwestracji symulowano równocześnie z kontynuowanym wydobywaniem gazu ziemnego. Taka strategia pozwoliła na efektywne zwiększenie objętości złoża dostępnej dla sekwestrowanego CO₂. W celu jej realizacji założono funkcjonowanie 3 odwiertów położonych w szczycie struktury (Ł-27, Ł-28, Le-24) jako odwiertów wydobywczych (Rys. 4.1). Ich udostępnienia warstw gazonośnych zostały skorygowane tak, aby ograniczyć wydobywanie wody podścielającej. Pozostałe odwierty, pracujące we wcześniejszych fazach jako wydobywcze a w fazie końcowej zawodnione, wykorzystano do zatłaczania CO₂.

W wariantach I.1 i I.2 do zatłaczania CO₂ zastosowano 4 odwierty: Ł-4, Ł-6, Ł-13 i Ł-25 (Rys. 4.2). Dla zbadania wpływu liczby i położenia odwiertów zatłaczających na efekty sekwestracji w wariantach II.1 i II.2 CO₂ tłoczono 9 odwiertami pokrywającym większy obszar złoża. Były to odwierty: Ł-1, Ł-3, Ł-4, Ł-6, Ł-7, Ł-8, Ł-12, Le-23 i Le-25 (Rys. 4.3).

Dla obydwu grup wariantów przyjęto wydajność wydobywania gazu ze złoża odpowiadającą maksymalnym dozwolonym wydajnościom 3 w/w odwiertów, co odpowiadało 207 000 Nm³/d.

Warianty I.1 i I.2

Warianty te różnią się kryterium limitującym proces sekwestracji. W wariantach I.1 zatłaczanie CO₂ i wydobywanie gazu ze złoża, (będącego w ogólności mieszaniną gazu ziemnego i zatłaczanego CO₂) prowadzono utrzymując ciśnienie złożowe nie przekraczające pierwotnego ciśnienia złożowego.

Natomiast w wariantach I.2 dopuszczono maksymalne ciśnienie złożowe o 5% powyżej pierwotnego ciśnienia złożowego.

Wariant I.1

Proces sekwestracji składał się z 3 faz:

faza 1: zatłaczanie CO₂ ze stałą wydajnością do momentu wzrostu ciśnienia złożowego do poziomu ciśnienia limitującego, tj. pierwotnego ciśnienia złożowego,

faza 2: zatłaczanie CO₂ w ilości rekompensującej wydobyte gazu przy warunku utrzymania ciśnienia na stałym poziomie limitującym. W tej fazie procesu odwierty wydobywcze osiągały coraz wyższe zawartości CO₂ w wydobywanym gazie i w efekcie ograniczały wydobyte z chwilą osiągnięcia maksymalnej dopuszczalnej koncentracji CO₂ w zbiorczym gazie (wynoszącej 80% Rys. 4.4) poprzez zmniejszenie wydobywania w odwiercie o największym zanieczyszczeniu dwutlenkiem węgla,

faza 3: po zakończeniu wydobywania gazu ze złoża kontynuowano zatłaczanie CO₂ w stopniu odpowiadającym propagacji ciśnienia na okalającą strefę zawodnioną przy jednoczesnym utrzymaniu ciśnienia limitującego w złożu. Proces sekwestracji zakończono 31 XII 2040 r.

Przebieg wydajności wydobywania ze złoża, zatłaczania CO₂ do złoża oraz zmiany ciśnienia złożowego przedstawiono dla wariantu I.1 na Rys. 4.5.

W efekcie zrealizowanego procesu sekwestracji do złoża zatłoczono 2.55×10^9 Nm³ CO₂ i wydobyto 1.55×10^9 Nm³ gazu będącego mieszaniną gazu rodzimego i zatłaczanego (Rys. 4.6) CO₂. Proces ten pozwolił zmagazynować w strukturze złoża Łąka 2.24×10^9 Nm³ CO₂ (Rys. 4.6).

Migrację zatłaczanego CO₂ w złożu przedstawiono w postaci map rozkładu tego gazu w fazie swobodnej w warstwie stropowej i na przekroju pionowym. Odpowiednio na:

Rys. 4.7 – po zakończeniu fazy 1 zatłaczania, XII 2013,

Rys. 4.8 – po zakończeniu fazy 2 zatłaczania, XII 2034,

Rys. 4.9 – po zakończeniu fazy 3 zatłaczania, XII 2040,

Rys. 4.10 – po okresie relaksacji (1000 lat).

Zatłaczany CO₂ pozostał również w fazie wodnej jako gaz rozpuszczony co przedstawiono Rys. 4.11.

Powyższe rozkłady pokazują, że zatłaczany CO₂ wypełnia pierwotny obszar pułapki gazowej i nie stwarza ryzyka jego ucieczki w kierunkach lateralnych.

Wariant I.2

W wariantcie tym podniesiono maksymalne dopuszczalne ciśnienie złożowe o 5% w stosunku do wariantu I.1.

Proces sekwestracji przebiegał analogicznie do Wariantu I.1 – składał się również z 3 faz – Rys. 4.12. Z powodu podwyższenia ciśnienia limitującego, faza 1 trwała znacznie dłużej. Pozostałe fazy przebiegały podobnie.

W efekcie procesu sekwestracji zrealizowanego w omawianym wariantcie do złoża zatłoczono $4.69 \times 10^9 \text{ Nm}^3 \text{ CO}_2$ a wydobyto $1.73 \times 10^9 \text{ Nm}^3$ gazu (Rys. 4.13). Proces ten pozwolił zmagazynować w omawianej strukturze $4.24 \times 10^9 \text{ Nm}^3 \text{ CO}_2$.

W omawianym wariantcie I.2 zatłaczany CO₂ wypełnia w większym stopniu analizowaną strukturę, chociaż schemat migracji tego gazu w ogólnych zarysach przypomina analogiczne wielkości dla wariantu I.1.

Odpowiednie rozkłady koncentracji swobodnego CO₂ w strukturze złoża przedstawiono na Rys. 4.14 (po fazie 1). Rys. 4.15 (po fazie 2) Rys. 4.16 (po fazie 3) i Rys. 4.17 (po relaksacji). Na Rys. 4.18 przedstawiono stężenie CO₂ rozpuszczonego w wodzie złożowej. Widać na nim zwiększony obszar (w porównaniu do Wariantu I.1) rozpuszczonego CO₂.

Pomimo wyraźnie zwiększonej objętości zatłoczonego CO₂, obszar zajęty przez ten gaz zawiera się wewnątrz pułapki złożowej i nie grozi ucieczką poza strefę sekwestracji. Jednocześnie należy podkreślić, że próby dalszego zwiększenia ilości zatłaczanego CO₂ (poprzez zwiększenie ciśnienia limitującego) wskazują

jednoznacznie na możliwość ucieczki gazu poprzez „siodło” zlokalizowane na południowo-wschodnich peryferiach struktury.

Warianty II.1 i II.2

W celu zbadania możliwości dalszego zwiększenia pojemności sekwestracyjnej struktury złoża Łąka w kolejnych wariantach rozpatrzono efekt zmiany liczby i położenia odwiertów zatłaczających zapewniającej potencjalnie bardziej jednorodne wypełnienie struktury zatłaczanym gazem.

Pod względem ciśnienia limitującego zatłaczanie, Warianty II.1 i II.2 są analogiczne do Wariantów I.1 i I.2, tzn. II.1 przewiduje maksymalne ciśnienie równe ciśnieniu pierwotnemu a II.2 ciśnieniu podwyższonemu o 5%.

Wariant II.1

W omawianym wariantcie proces sekwestracji składał się z dwu faz, tj.:

faza 1: zatłaczanie CO₂ ze stałą wydajnością do momentu wzrostu ciśnienia złożowego do poziomu ciśnienia limitującego, tj. pierwotnego ciśnienia złożowego,

faza 2: zatłaczanie CO₂ w ilości rekompensującej wydobycie gazu przy warunku utrzymania ciśnienia na stałym poziomie limitującym. W tej fazie procesu odwierty wydobywcze osiągały coraz wyższe zawartości CO₂ w wydobywanym gazie i w efekcie ograniczały wydobycie z chwilą osiągnięcia maksymalnej dopuszczalnej koncentracji CO₂ w zbiorczym gazie (wynoszącej 80% Rys. 4.19) poprzez zmniejszenie wydobycia w odwiercie o największym zanieczyszczeniu dwutlenkiem węgla.

Faza 2 trwała do końca przyjętego okresu zatłaczania, tj. do 31. XII 2040 r. czyli do końca pracował przynajmniej jeden odwiert wydobywczy.

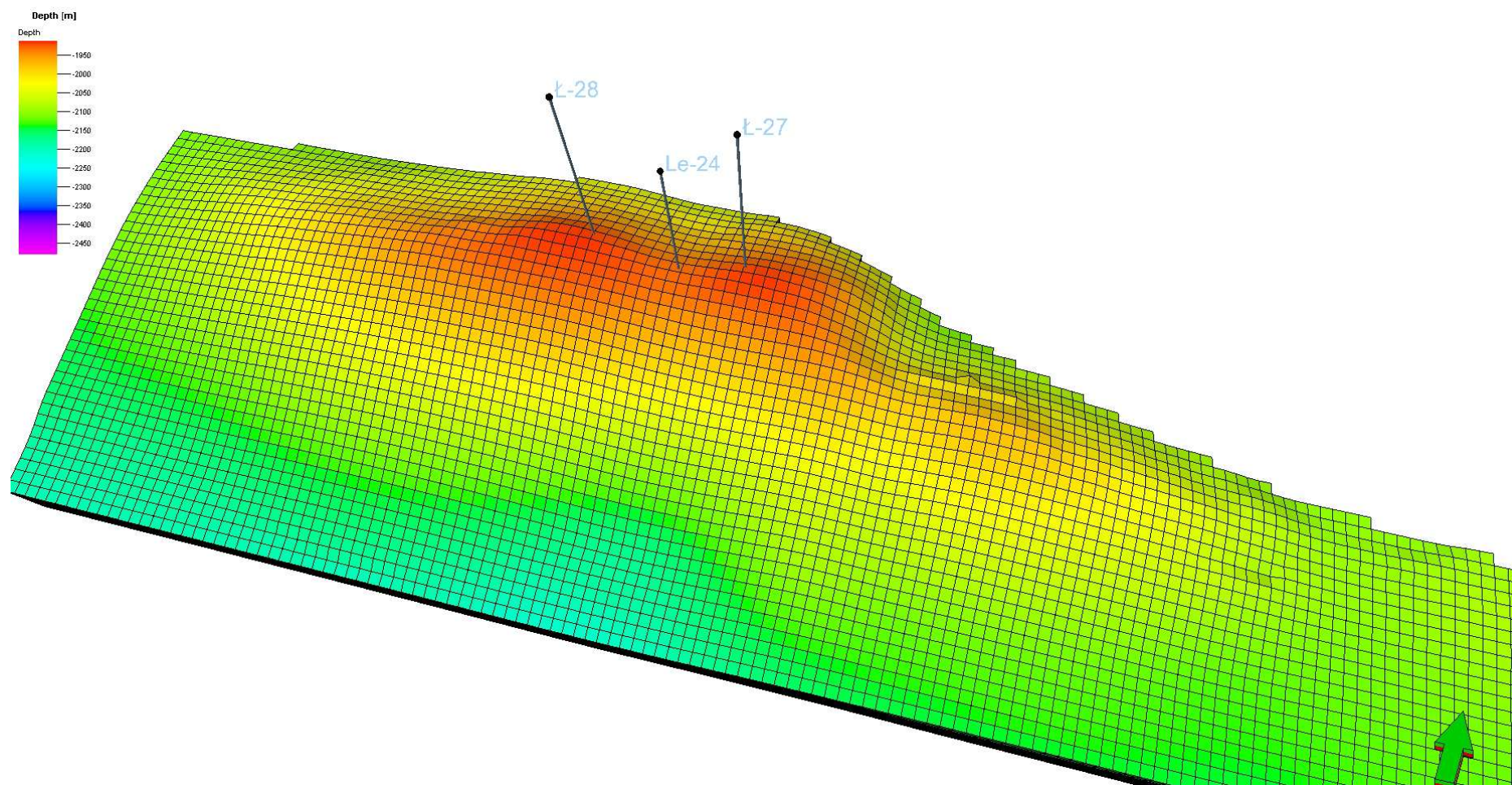
Przebieg wydajności wydobycia ze złoża, zatłaczanie CO₂ do złoża oraz zmiany ciśnienia złożowego dla niniejszego wariantu przedstawiono na Rys. 4.20. W efekcie

omawianego procesu sekwestracji do złoża zatłoczono $2.53 \times 10^9 \text{ Nm}^3 \text{ CO}_2$ a wydobyto $1.57 \times 10^9 \text{ Nm}^3$ gazu (Rys. 4.21). Proces pozwolił zmagazynować $2.18 \times 10^9 \text{ Nm}^3 \text{ CO}_2$.

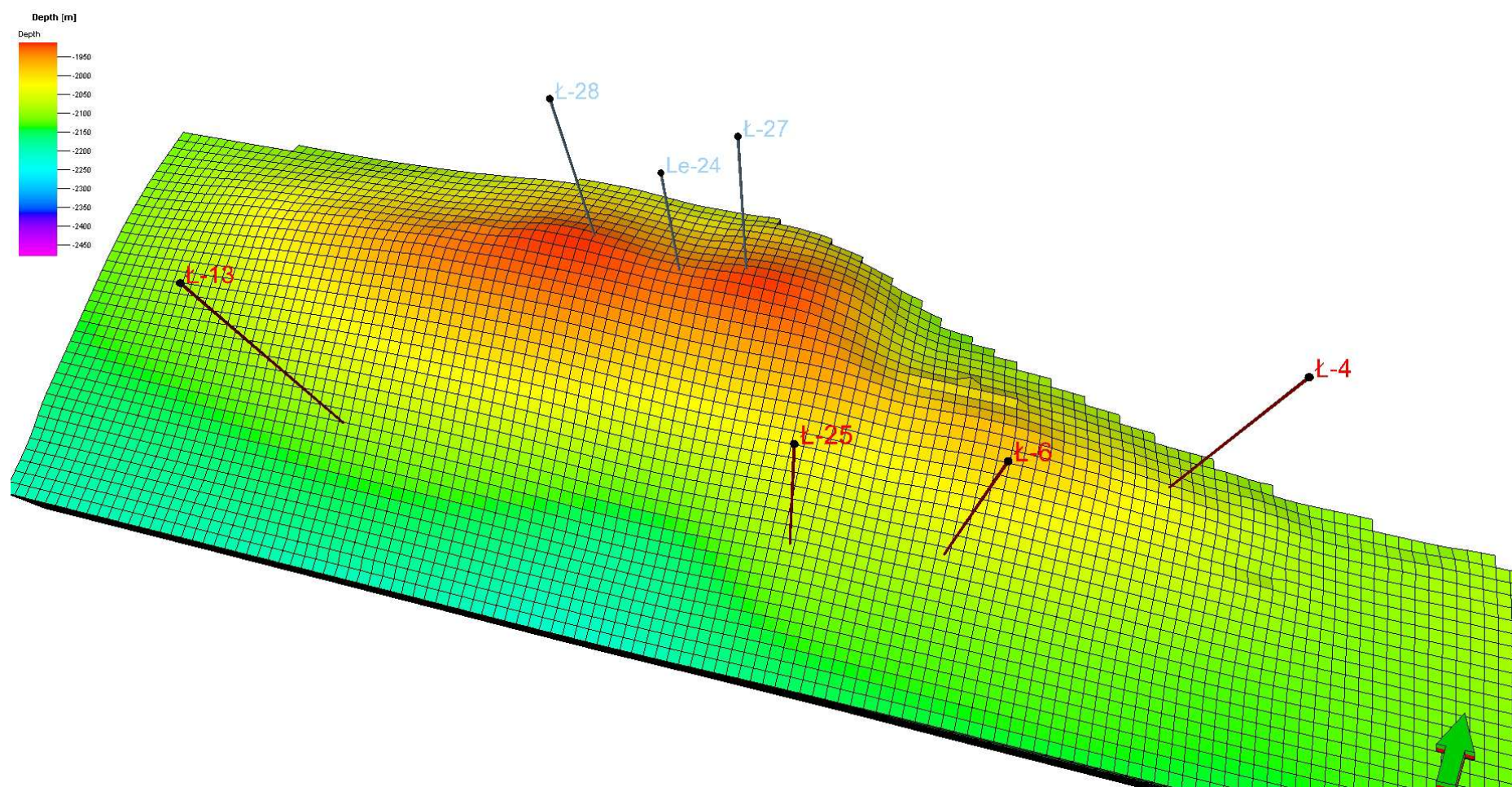
Wariant II.2

W wariantcie tym użyto 9 odwiertów zatłaczających jak w Wariantcie II.1, a jako maksymalne ciśnienie złożowe przyjęto zwiększone (105%) ciśnienie pierwotne jak w Wariantcie I.2. W tych warunkach proces sekwestracji składał się z 2 faz (jak Wariant I.2) a jego przebieg przedstawiono na Rys. 4.24 w postaci zmian wydajności zatłaczania CO_2 , wydajności wydobywania gazu ze złoża i ciśnienia złożowego. W rezultacie procesu sekwestracji zrealizowanego wg Wariantu II.2 do złoża zatłoczono $4.63 \times 10^9 \text{ Nm}^3 \text{ CO}_2$ a wydobyto $1.73 \times 10^9 \text{ Nm}^3$ gazu (Rys. 2.45). W strukturze złoża zmagazynowano $4.13 \times 10^9 \text{ Nm}^3 \text{ CO}_2$. Uzyskane wyniki odpowiadają w przybliżeniu результатам wariantu I.2. Nieco mniejsza ilość zmagazynowanego CO_2 (4.13 vs. $4.24 \times 10^9 \text{ Nm}^3$) wynika z większej koncentracji CO_2 w wydobywanym gazie (Rys. 4.26), co z kolei jest konsekwencją nieznacznie szybszej migracji zatłaczanego CO_2 do odwiertów wydobywczych wynikającą z innego, wzajemnego usytuowania tych odwiertów.

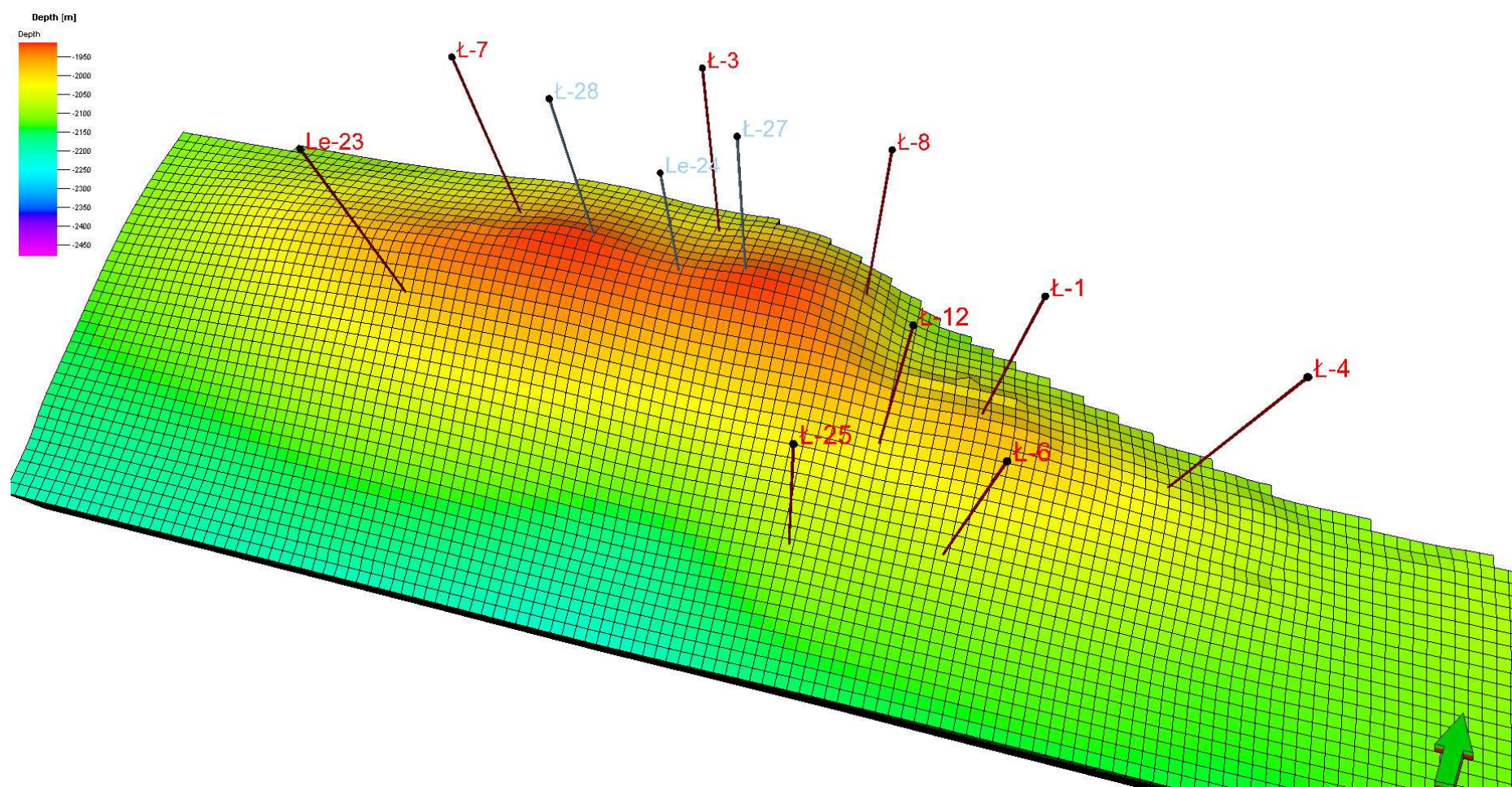
4.1. Rysunki do Rozdziału 4



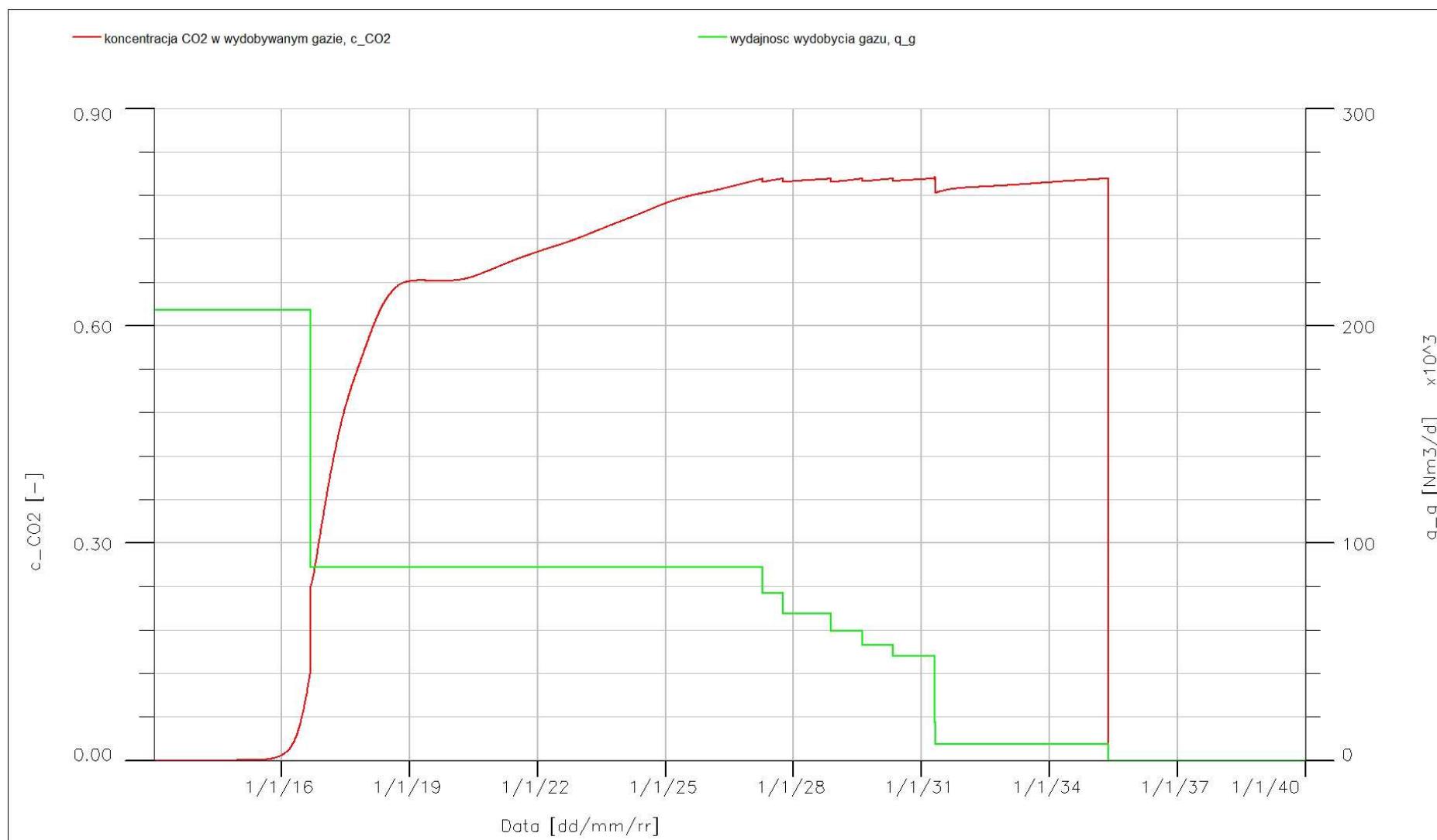
Rys. 4.1. Złoże Łąka. Prognozy procesu sekwestracji z wydobyciem gazu. Położenie odwiertów wydobywczych.



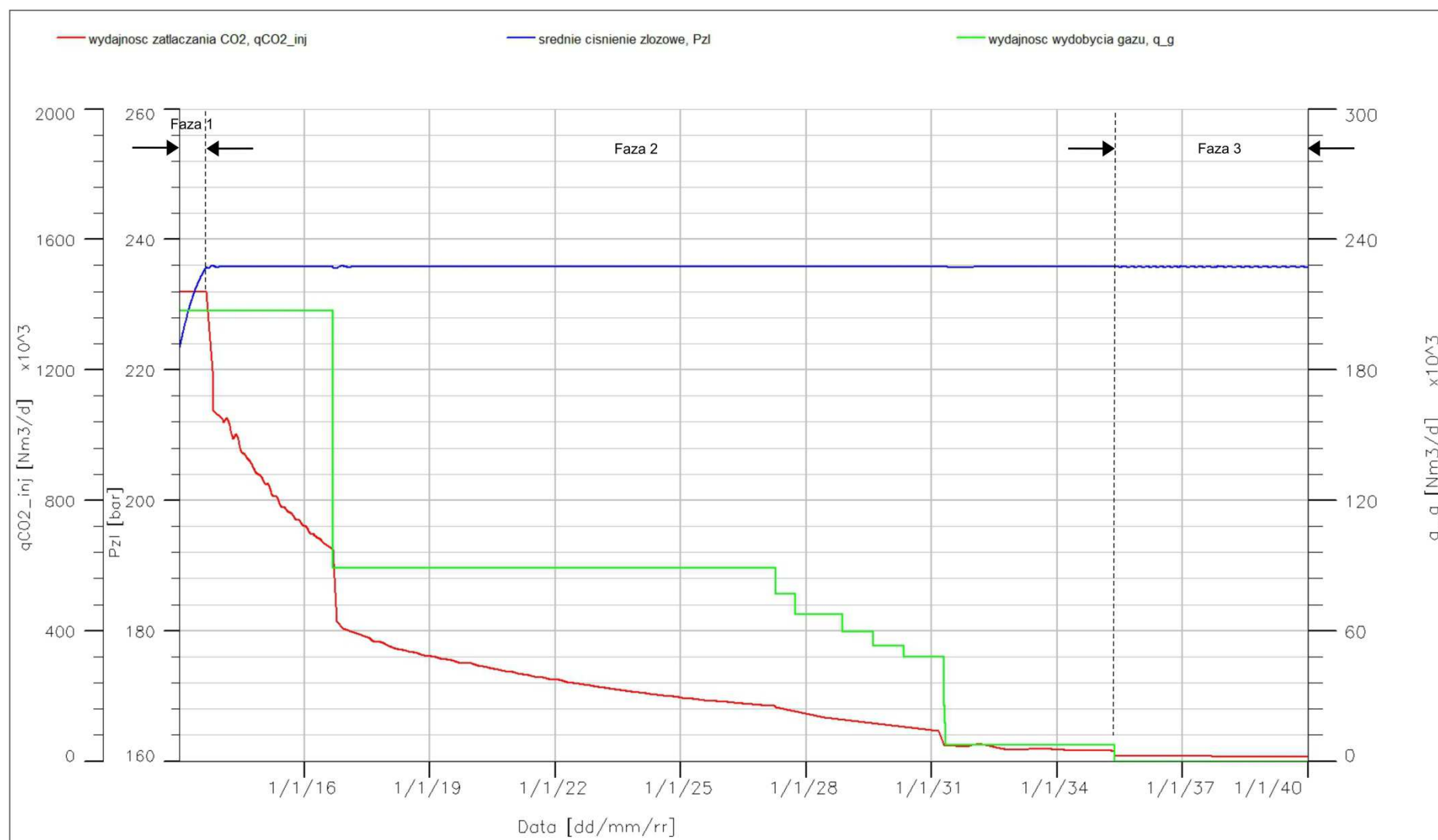
Rys. 4.2. Złoże Łąka. Wariant I.1 i I.2. Położenie odwiertów wydobywczych (niebieskie) i zatłaczających (czerwone).



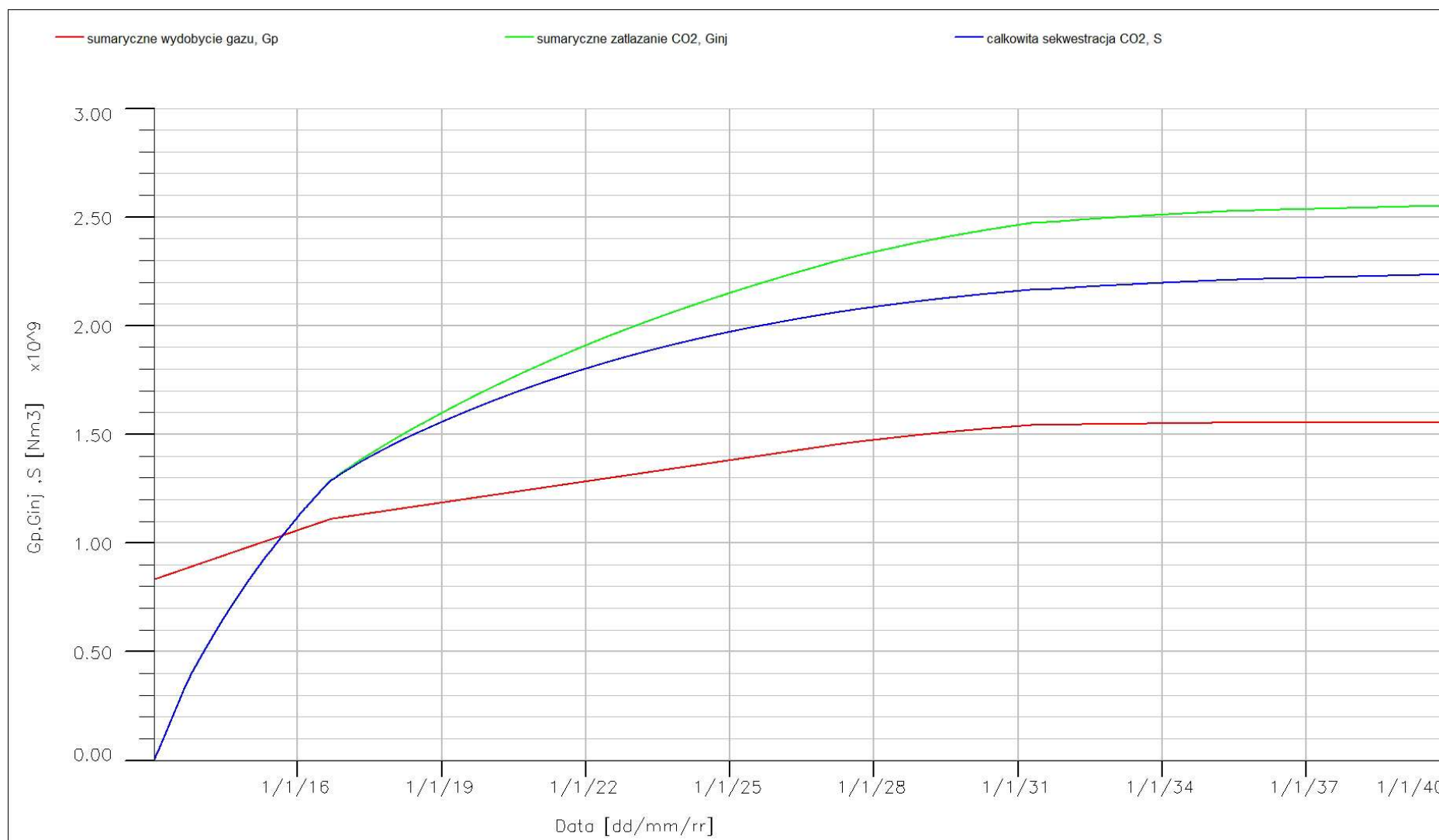
Rys. 4.3. Złoże Łąka. Wariant II.1 i II.2. Położenie odwiertów wydobywczych (niebieskie) i zatłaczających (czerwone).



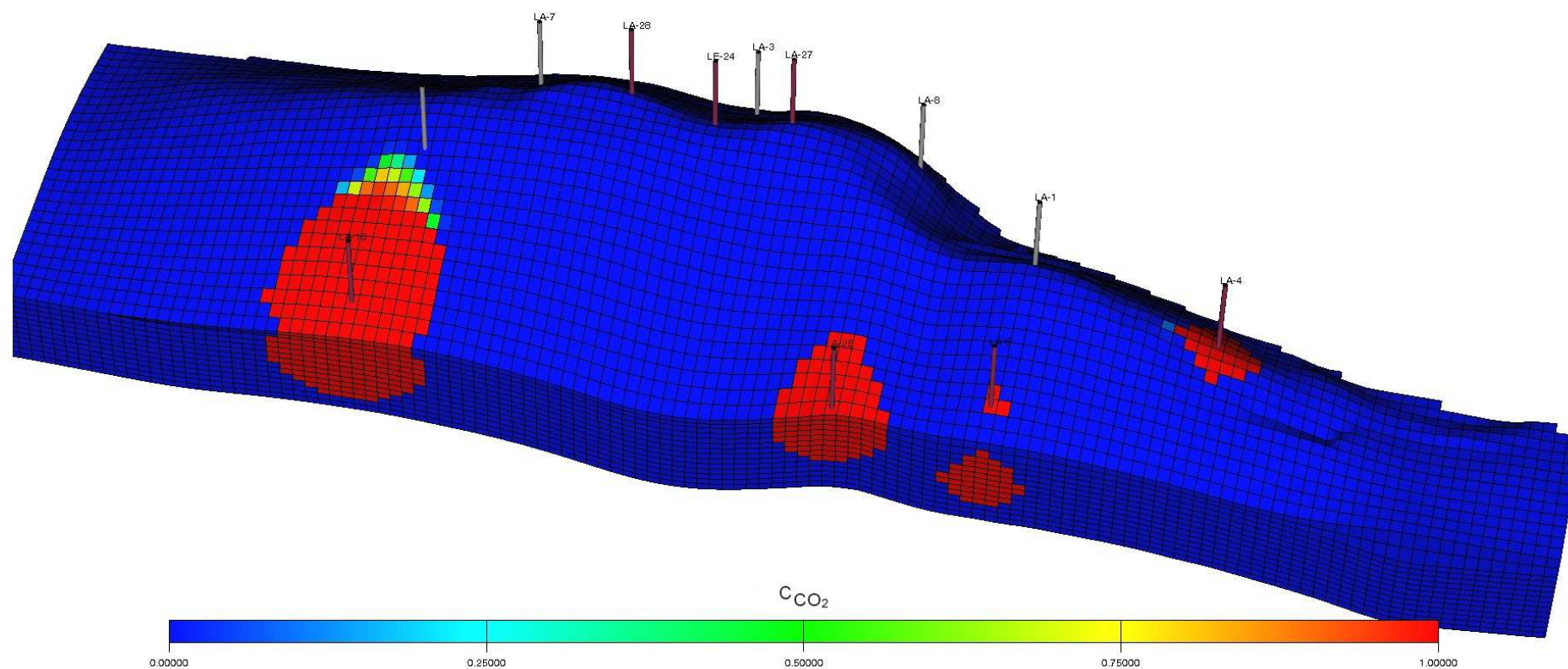
Rys. 4.4. Złoże Łąka. Prognoza wydobywania gazu. Wariant I.1. Wydajność wydobywania gazu i koncentracja CO₂ w wydobywanym gazie.



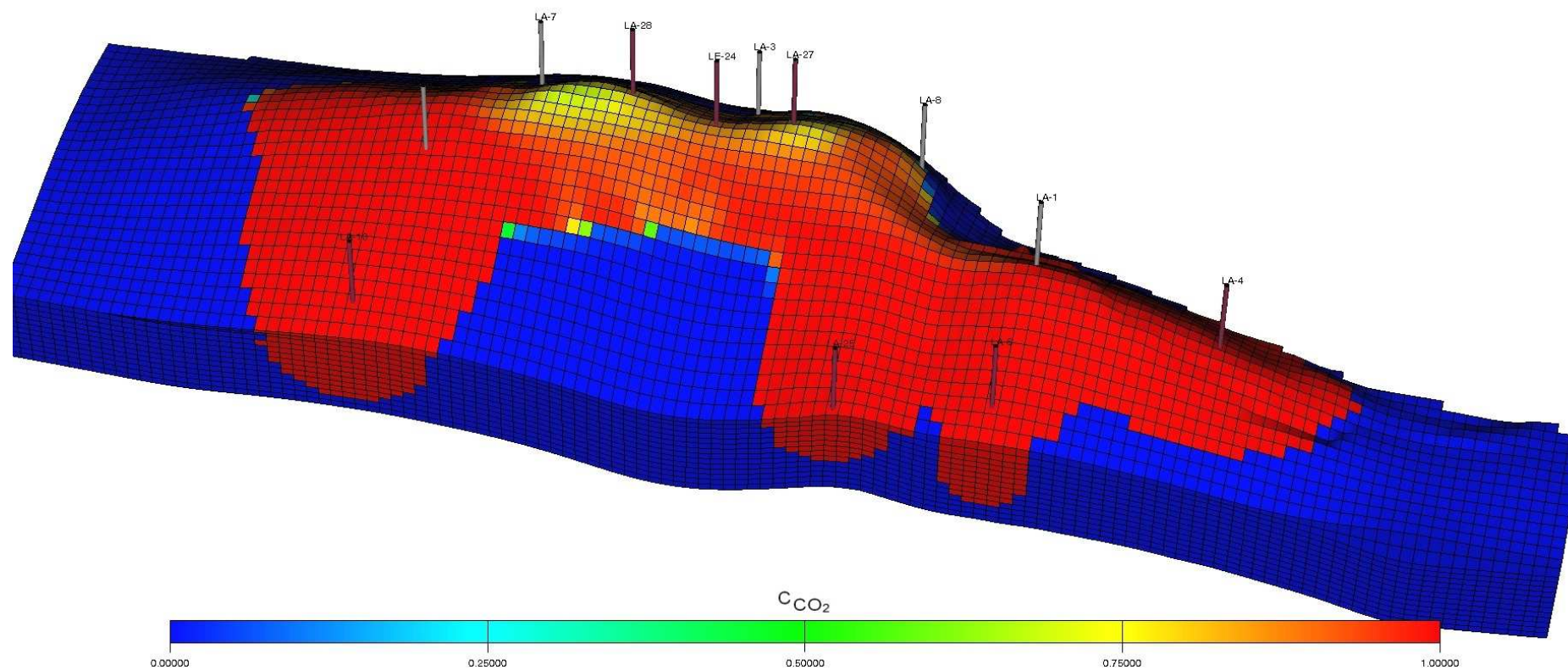
Rys. 4.5. Złoże Łąka. Prognoza procesu sekwestracji. Wariant I.1. Wydajność zatłaczania CO₂, wydobywanie gazu ze złoża i średnie ciśnienie złożowe.



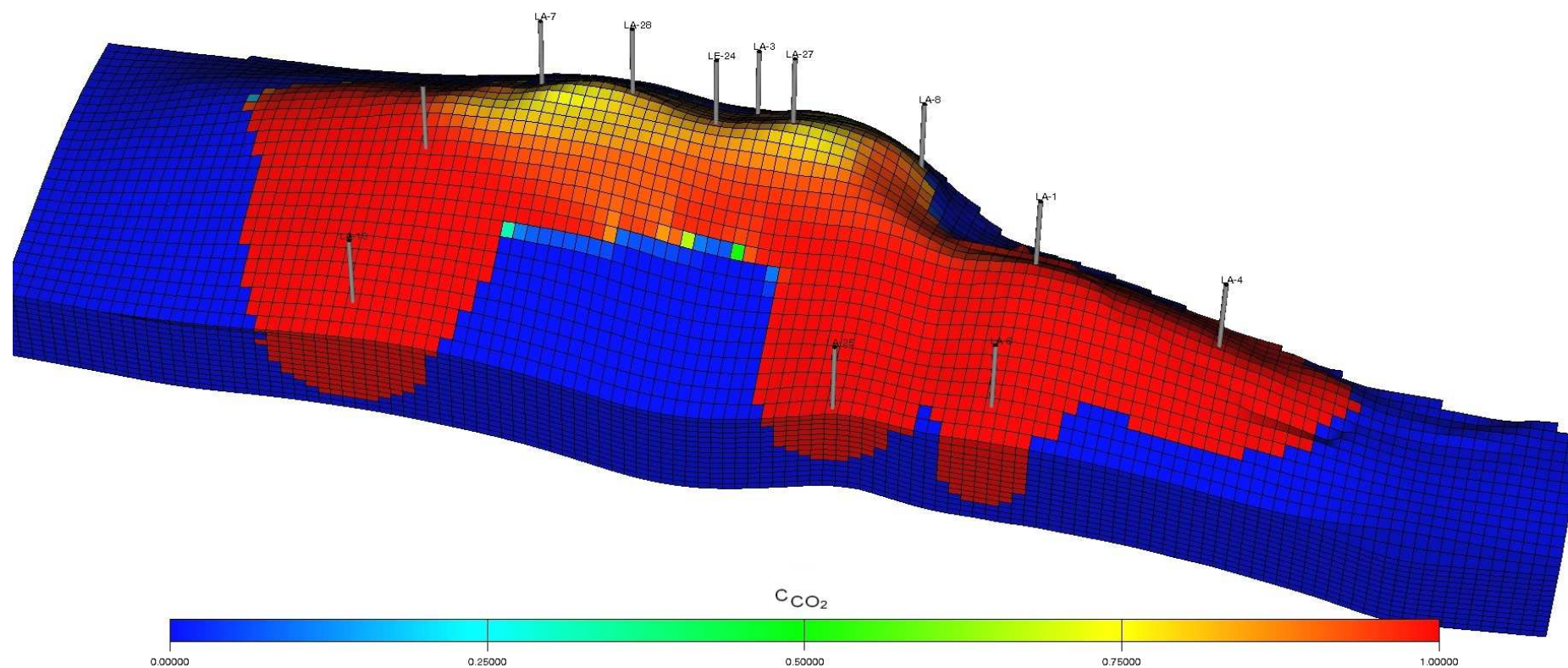
Rys. 4.6. Złoże Łąka. Prognoza procesu sekwestracji CO₂. Wariant I.1. Sumaryczna ilość załaczanego CO₂, wydobytego gazu i pojemność zmagazynowanego CO₂.



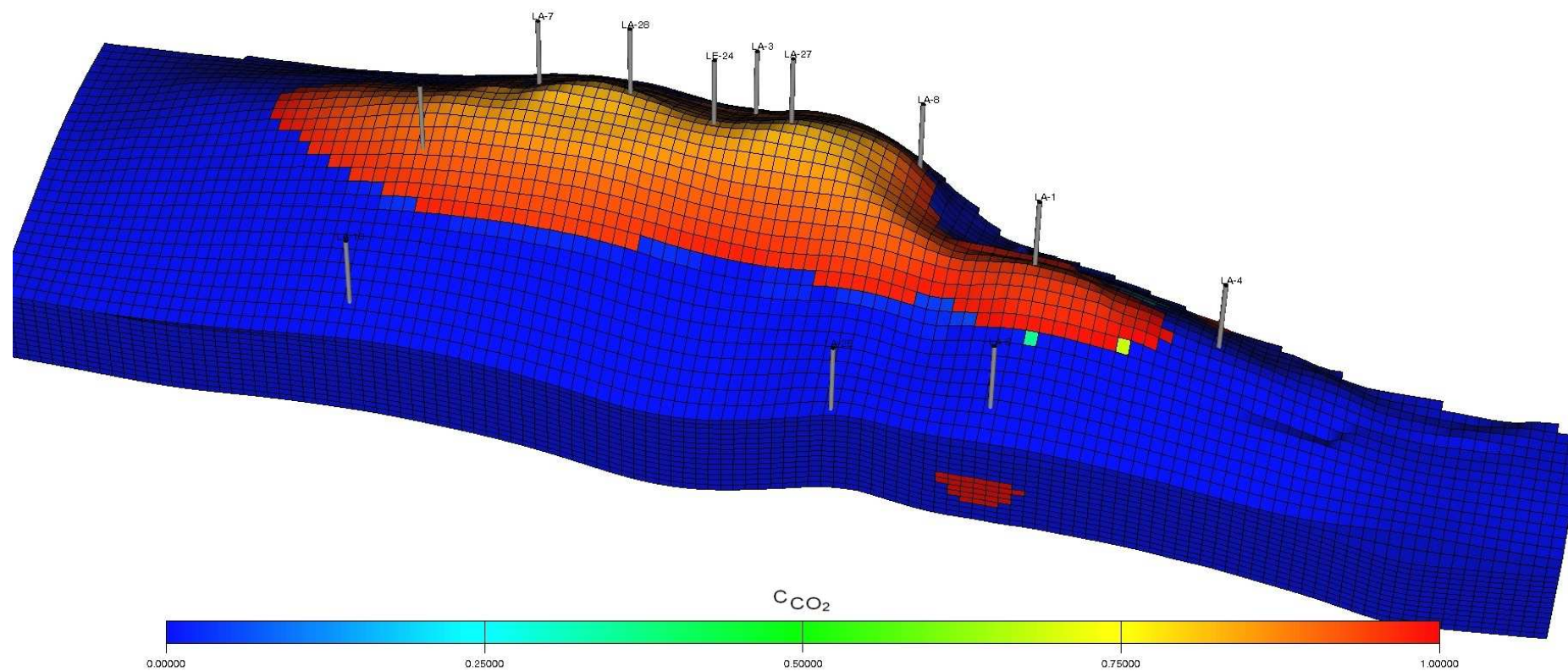
Rys. 4.7. Złoże Łąka. Prognoza procesu sekwestracji. Wariant I.1. Rozkład koncentracji CO_2 w fazie gazowej na koniec fazy 1 zatłaczania.



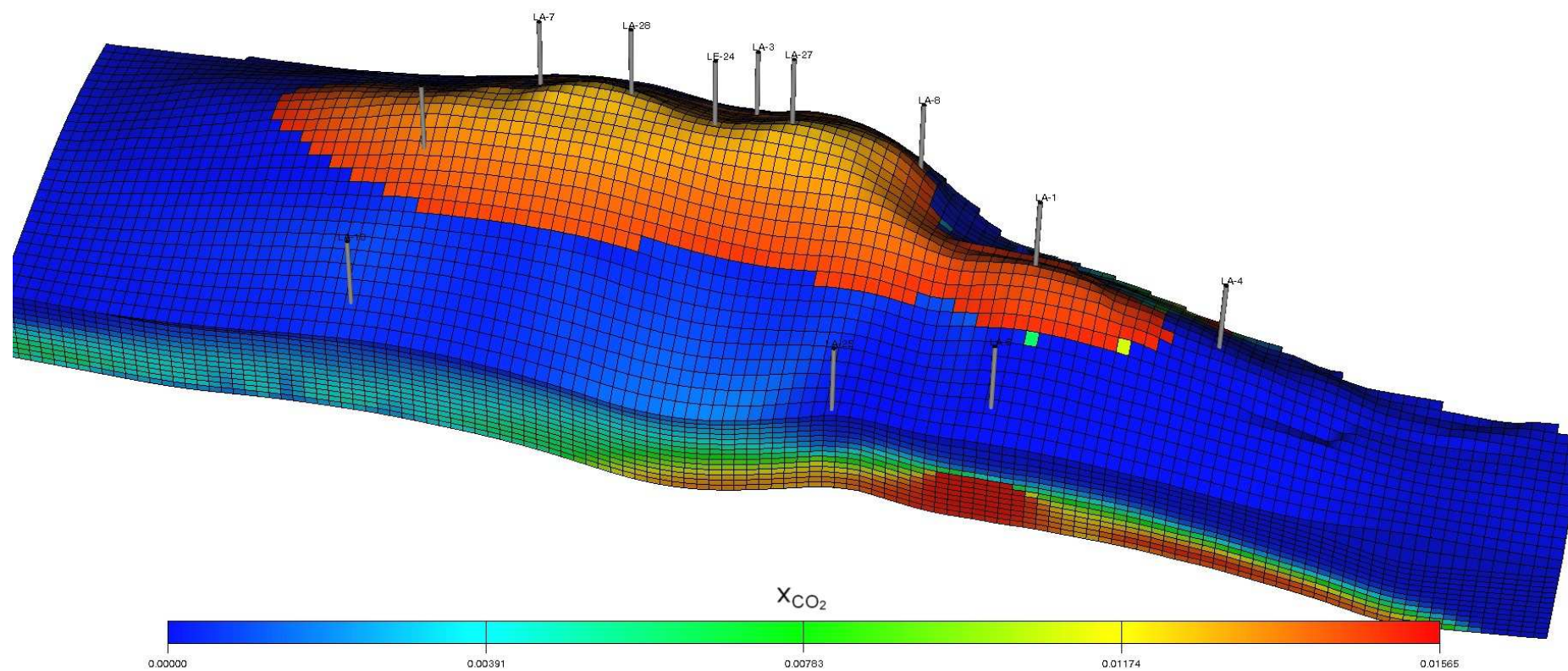
Rys. 4.8. Złoże Łąka. Prognoza procesu sekwestracji. Wariant I.1. Rozkład koncentracji CO_2 w fazie gazowej na koniec fazy 2 zatłaczania.



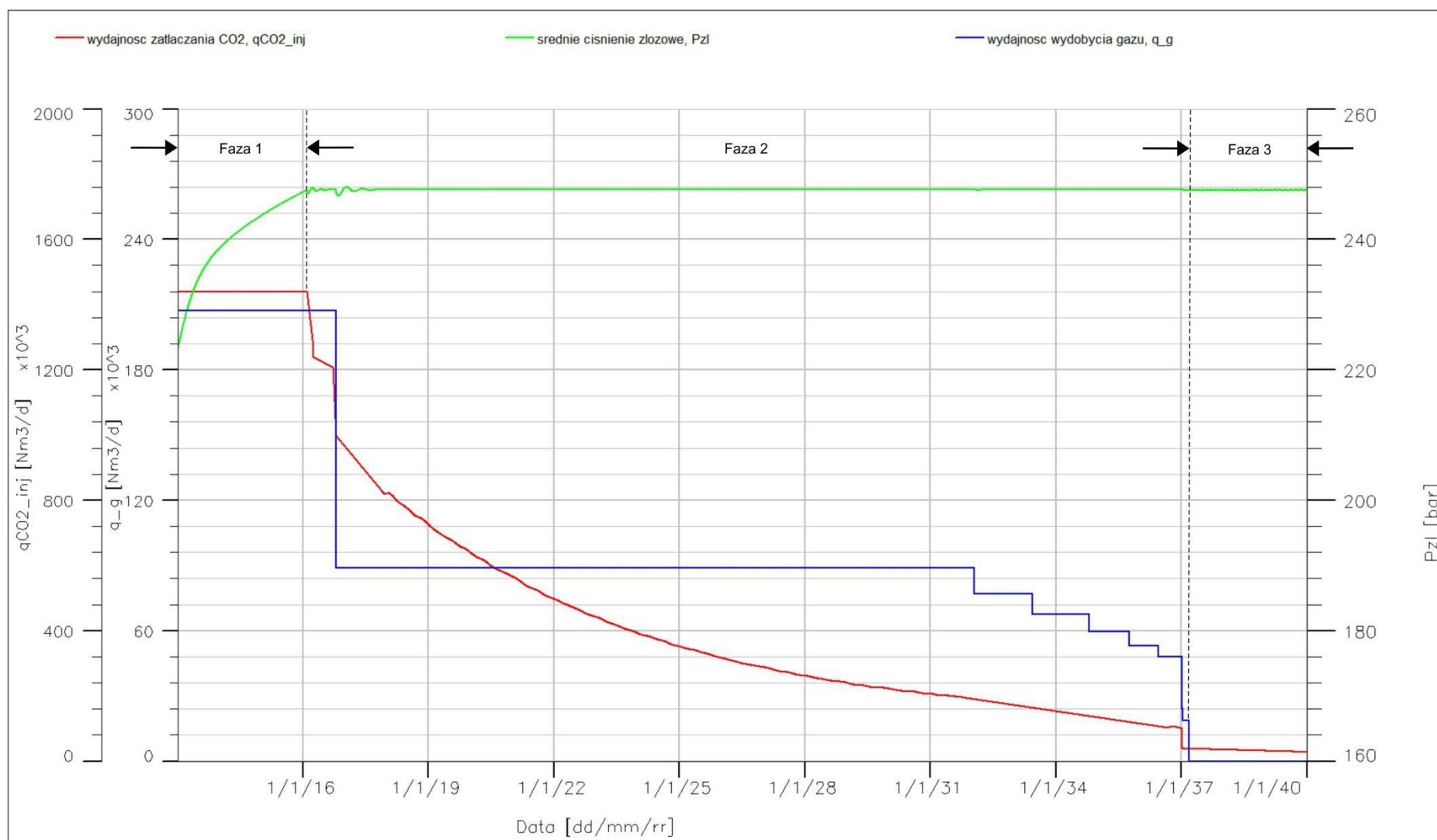
Rys. 4.9. Złoże Łąka. Prognoza procesu sekwestracji. Wariant I.1. Rozkład koncentracji CO_2 w fazie gazowej na koniec fazy 3 zatłaczania.



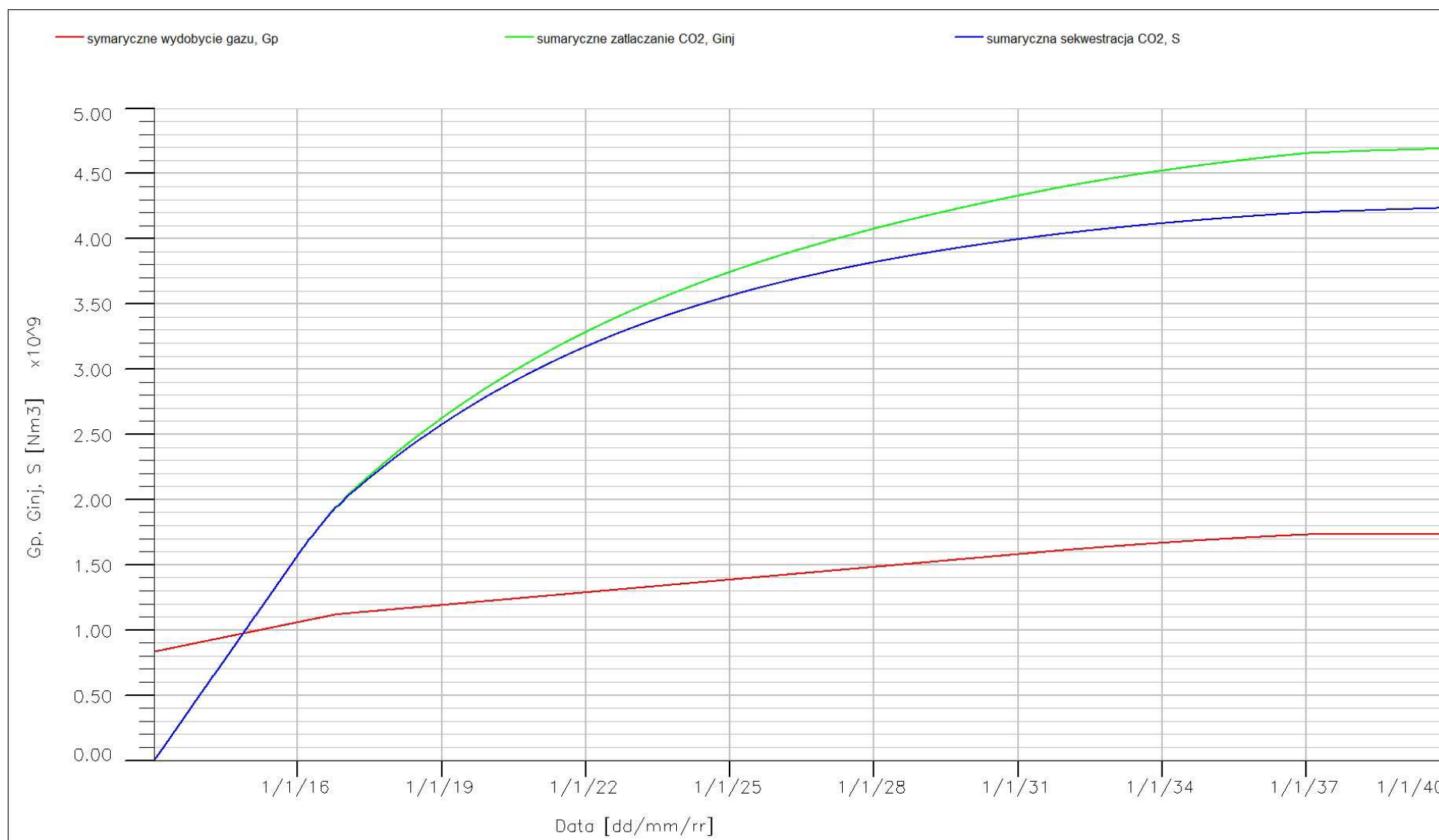
Rys. 4.10. Złoże Łąka. Prognoza procesu sekwestracji. Wariant I.1. Rozkład koncentracji CO_2 w fazie gazowej na koniec okresu relaksacji.



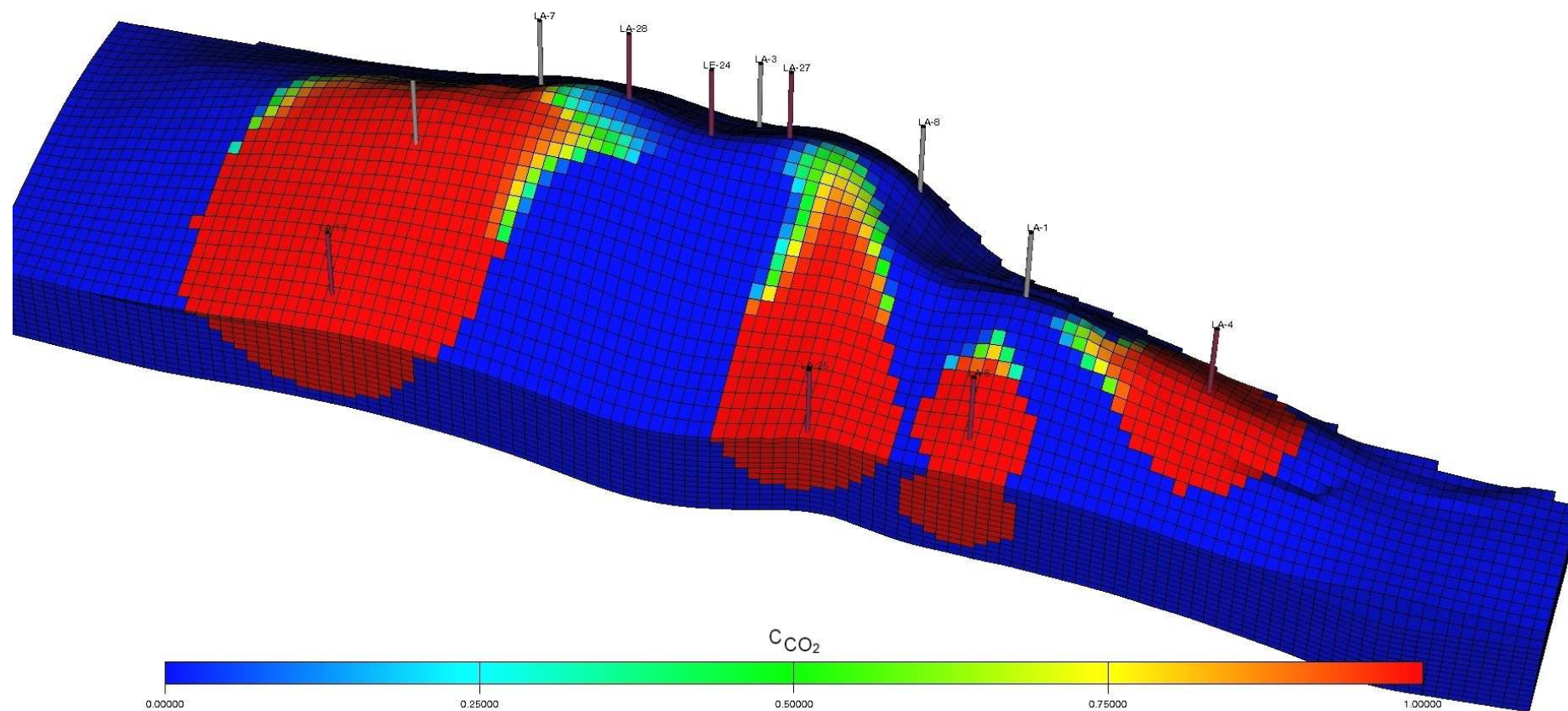
Rys. 4.11. Złoże Łąka. Prognoza procesu sekwestracji. Wariant I.1. Zawartość rozpuszczonego CO₂, x_{CO_2} w fazie wodnej na koniec okresu relaksacji.



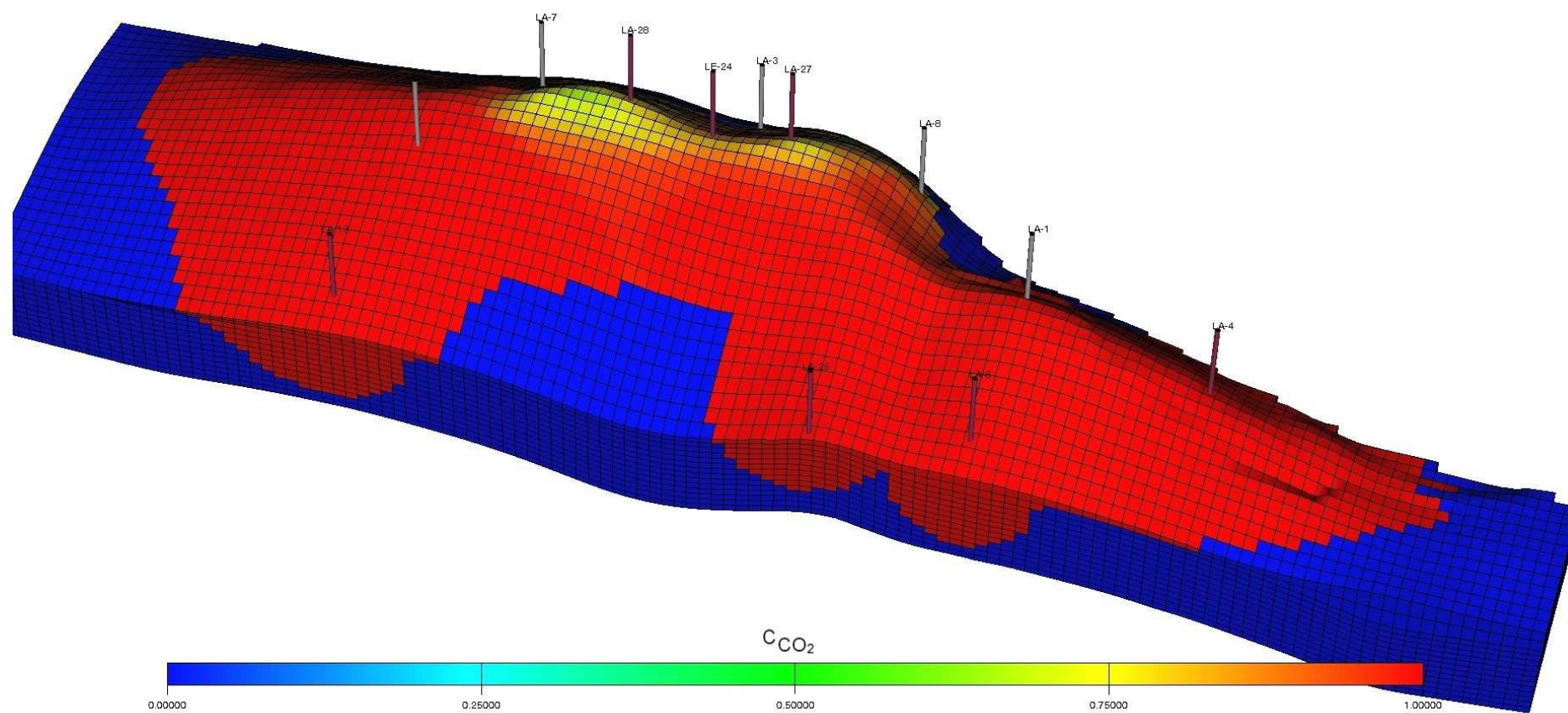
Rys. 4.12. Złoże Łąka. Prognoza procesu sekwestracji. Wariant I.2. Wydajność zatłaczania CO₂, wydobywanie gazu ze złoża i średnie ciśnienie złożowe.



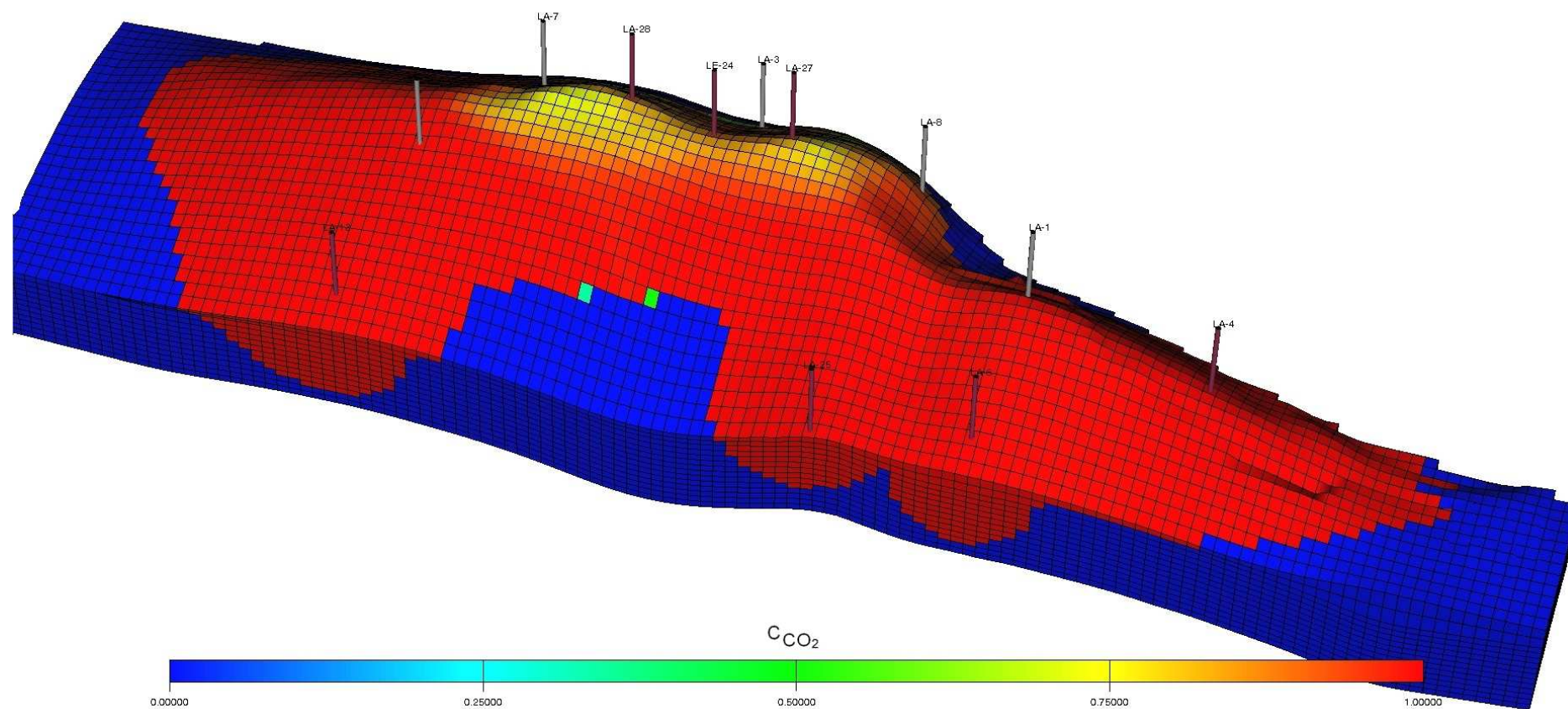
Rys. 4.13. Złoże Łąka. Prognoza procesu sekwestracji CO₂. Wariant I.2. Sumaryczna ilość załaczanego CO₂, wydobytego gazu i pojemność zmagazynowanego CO₂.



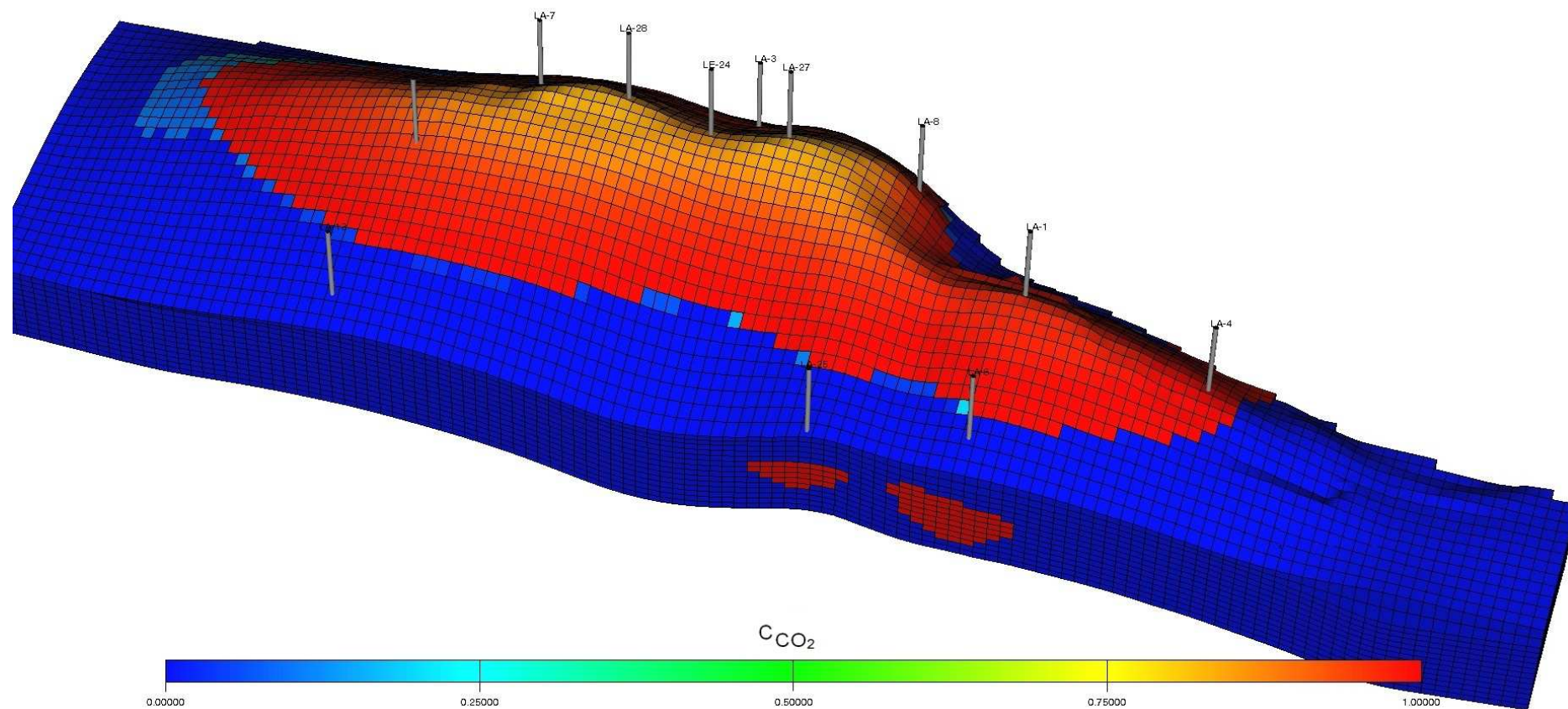
Rys. 4.14. Złoże Łąka. Prognoza procesu sekwestracji. Wariant I.2. Rozkład koncentracji CO₂ w fazie gazowej na koniec fazy 1 zatłaczania.



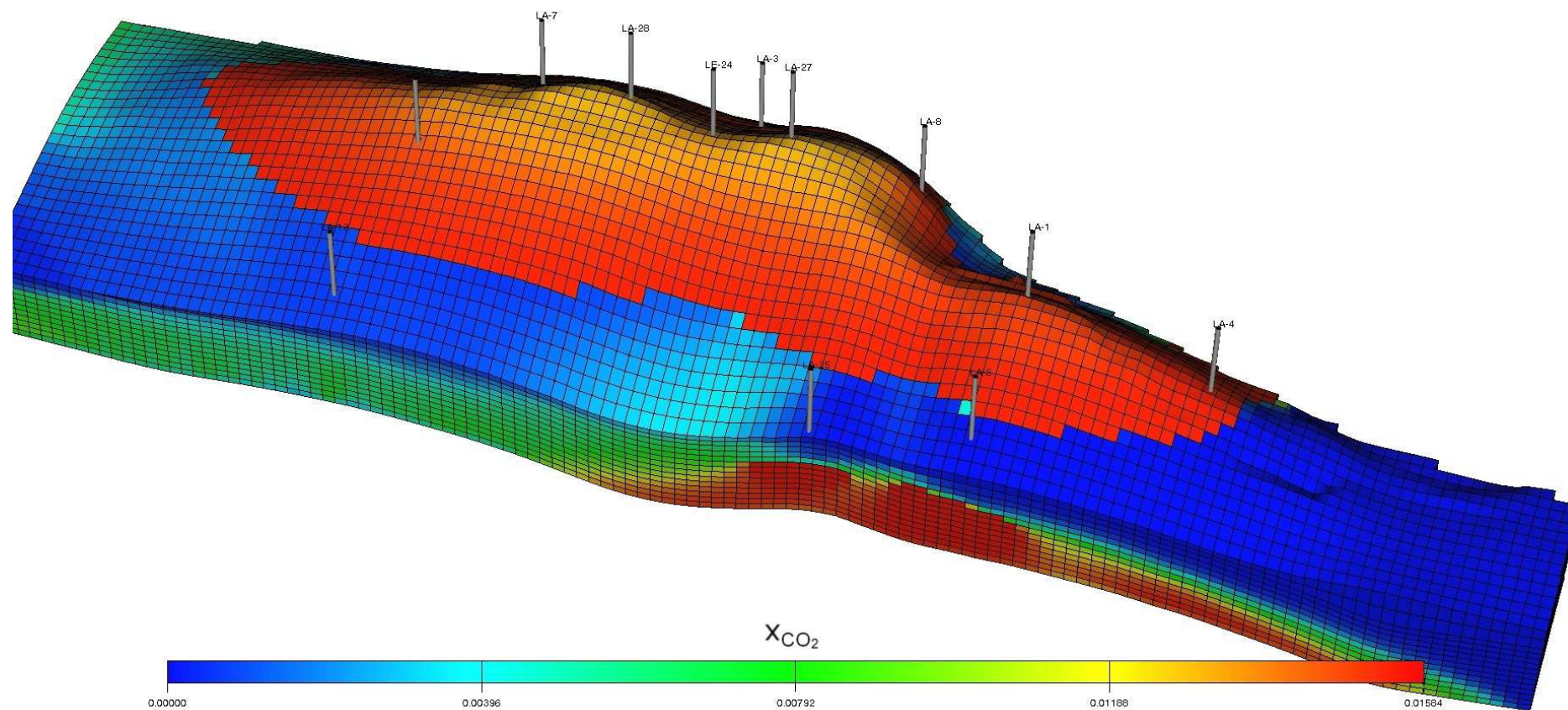
Rys. 4.15. Złoże Łąka. Prognoza procesu sekwestracji. Wariant I.2. Rozkład koncentracji CO_2 w fazie gazowej na koniec fazy 2 zatłaczania.



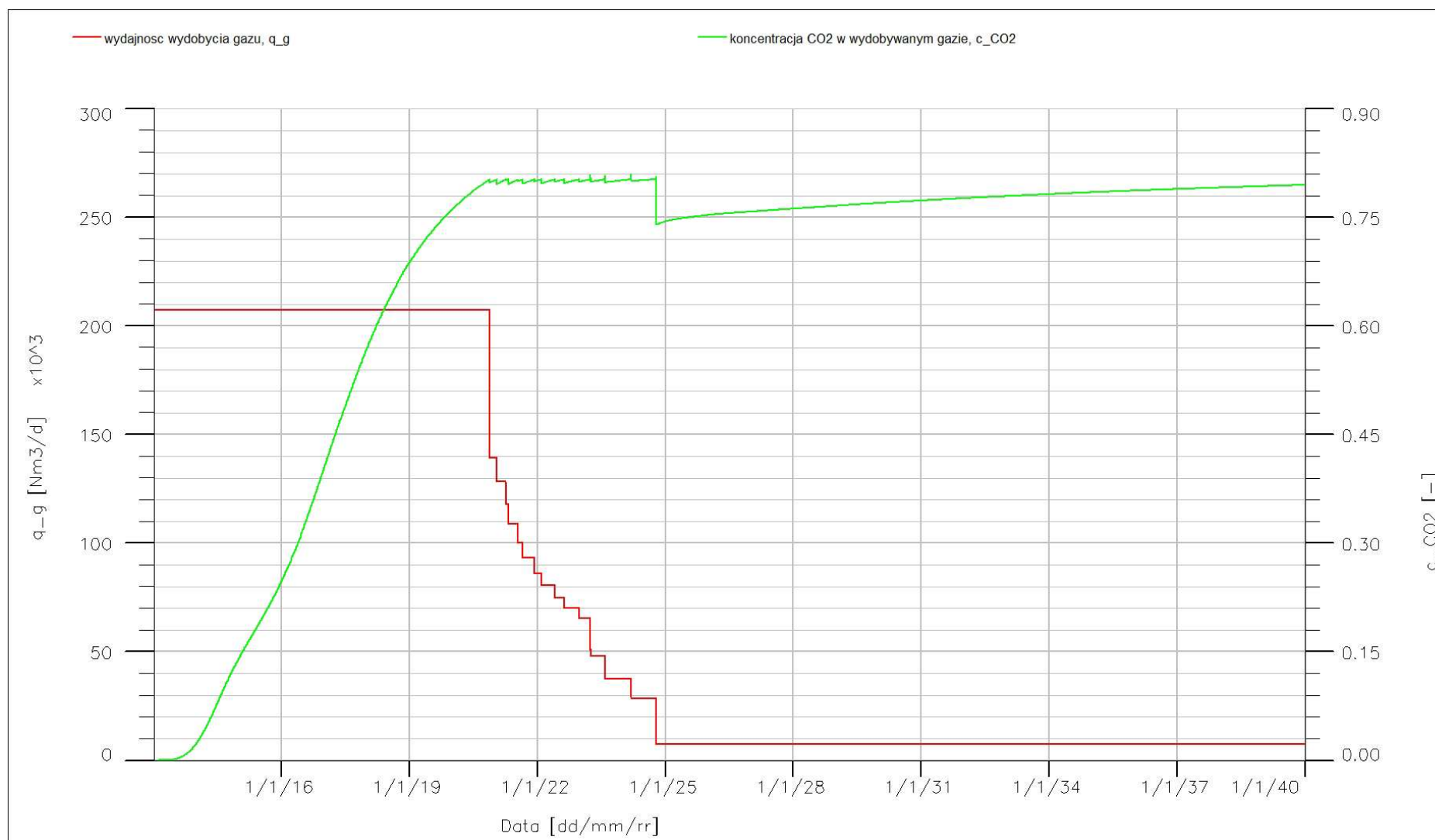
Rys. 4.16. Złoże Łąka. Prognoza procesu sekwestracji. Wariant I.2. Rozkład koncentracji CO_2 w fazie gazowej na koniec fazy 3 zatłaczania.



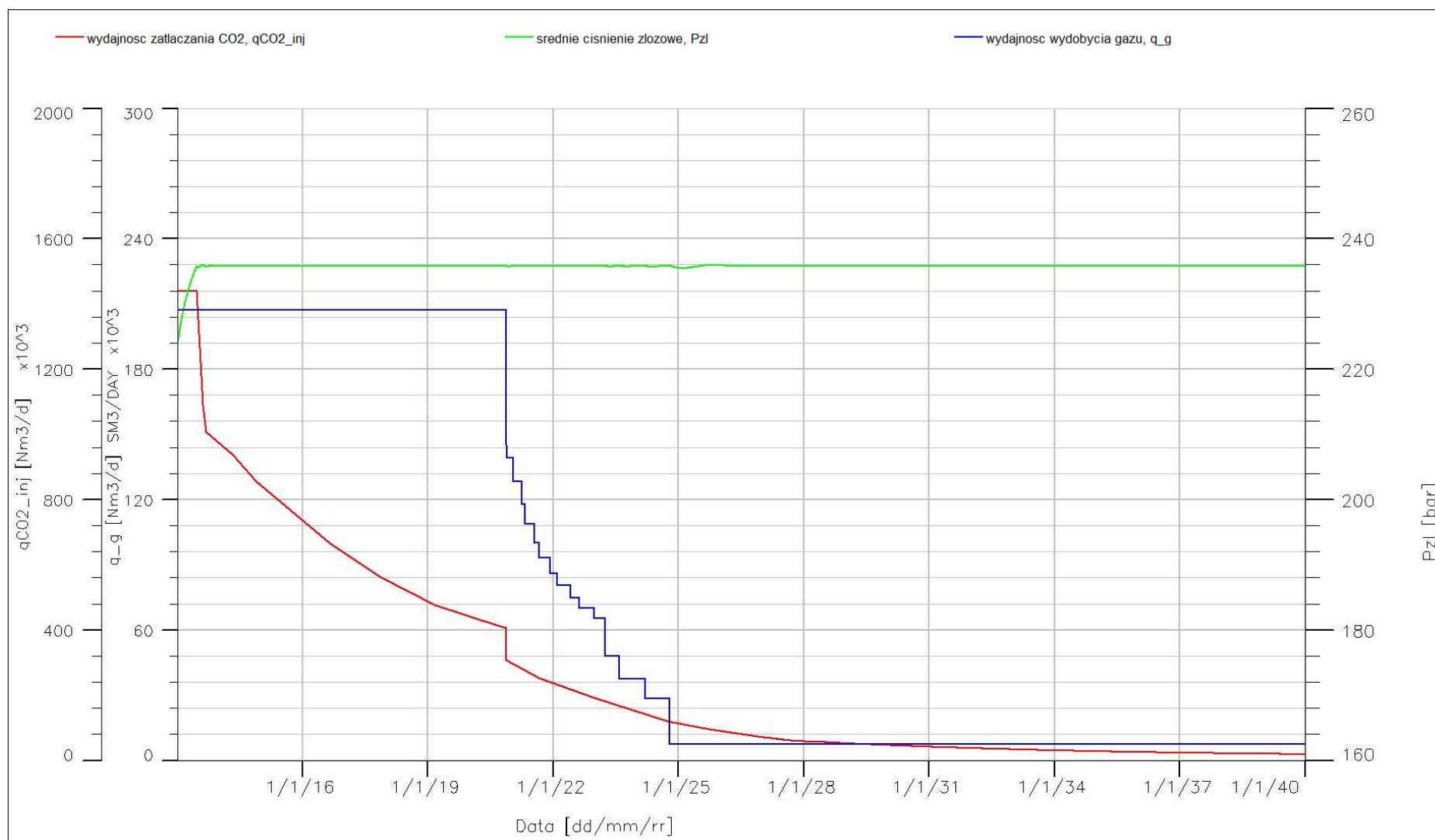
Rys. 4.17. Złoże Łąka. Prognoza procesu sekwestracji. Wariant I.2. Rozkład koncentracji CO_2 w fazie gazowej na koniec okresu relaksacji.



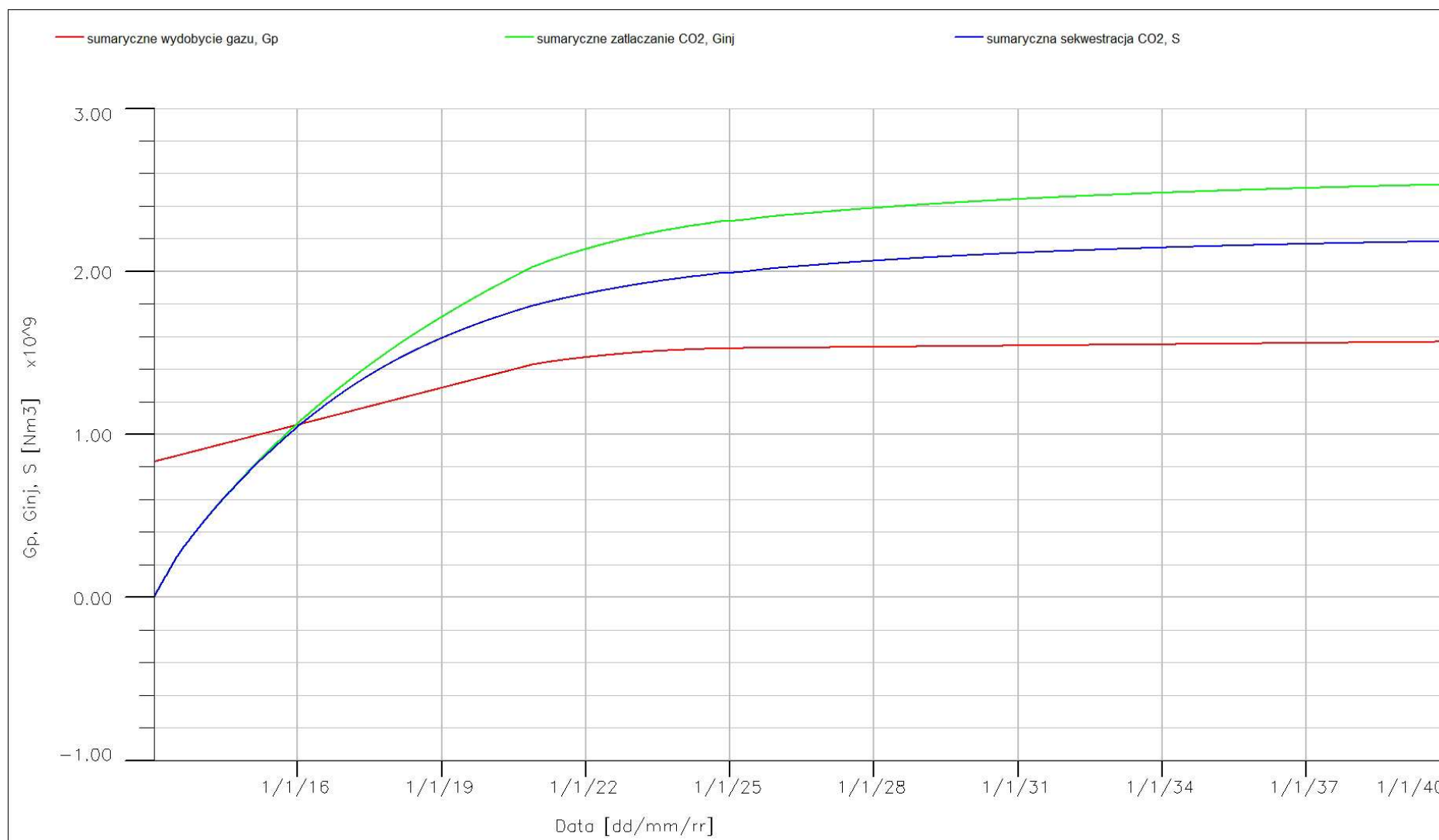
Rys. 4.18. Złoże Łąka. Prognoza procesu sekwestracji. Wariant I.2. Zawartość rozpuszczonego CO_2 , x_{CO_2} w fazie wodnej na koniec okresu relaksacji.



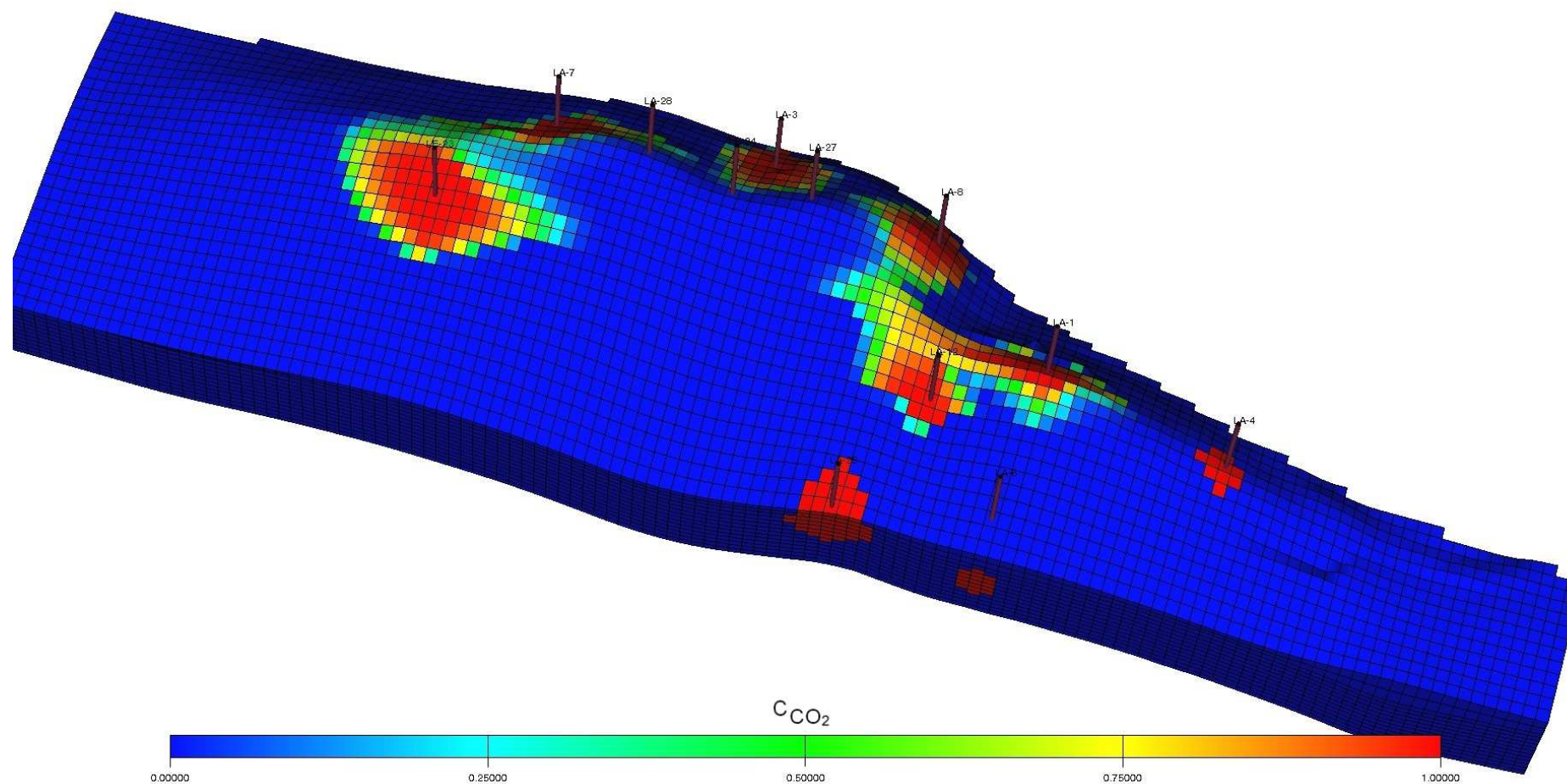
Rys. 4.19. Złoże Łąka. Prognoza wydobycia gazu. Wariant II.1. Wydajność wydobycia gazu i koncentracja CO₂ w wydobywanym gazie.



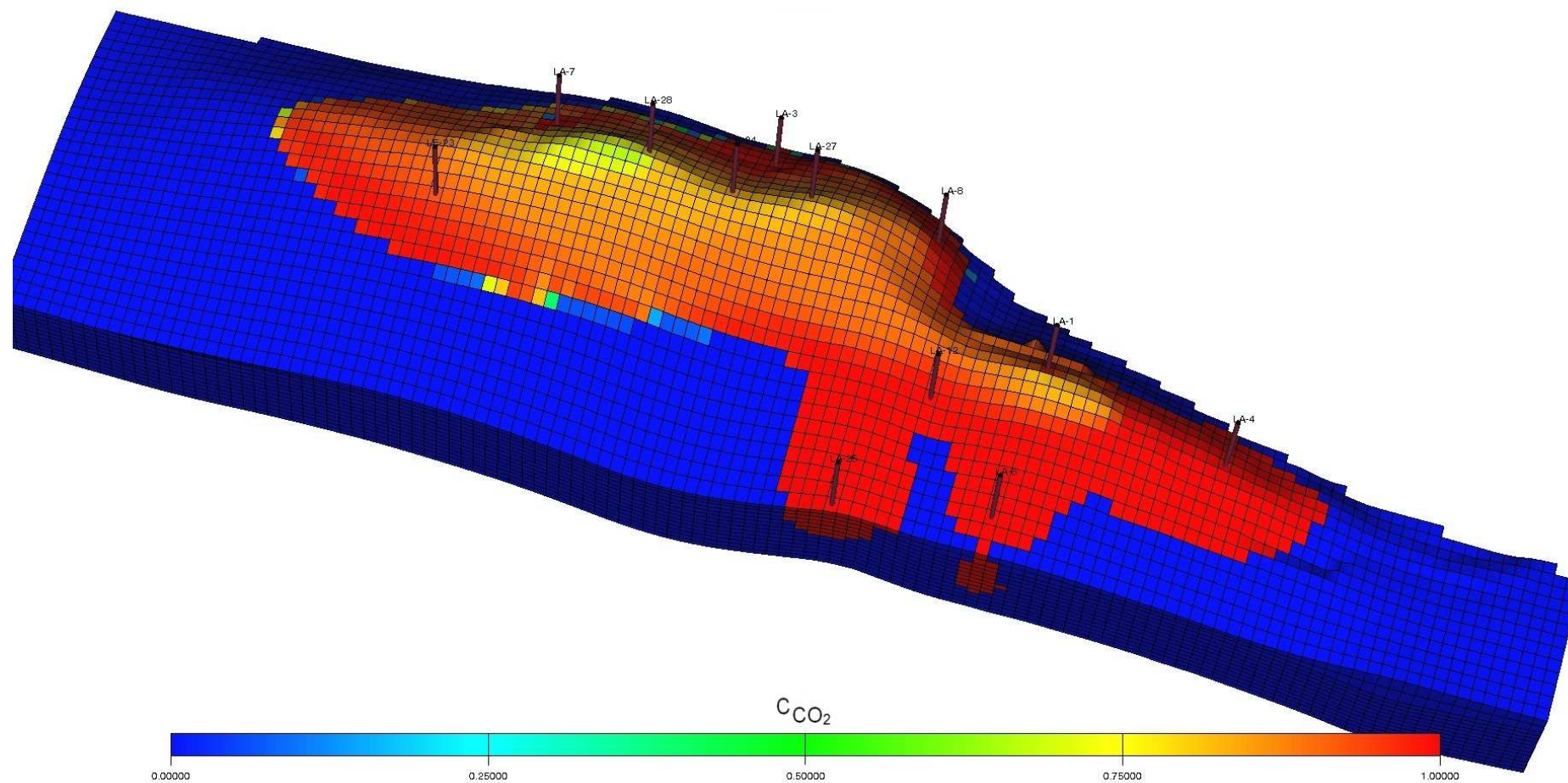
Rys. 4.20. Złoże Łąka. Prognoza procesu sekwestracji. Wariant II.1. Wydajność zatłaczania CO₂, wydobywanie gazu ze złoża i średnie ciśnienie złożowe.



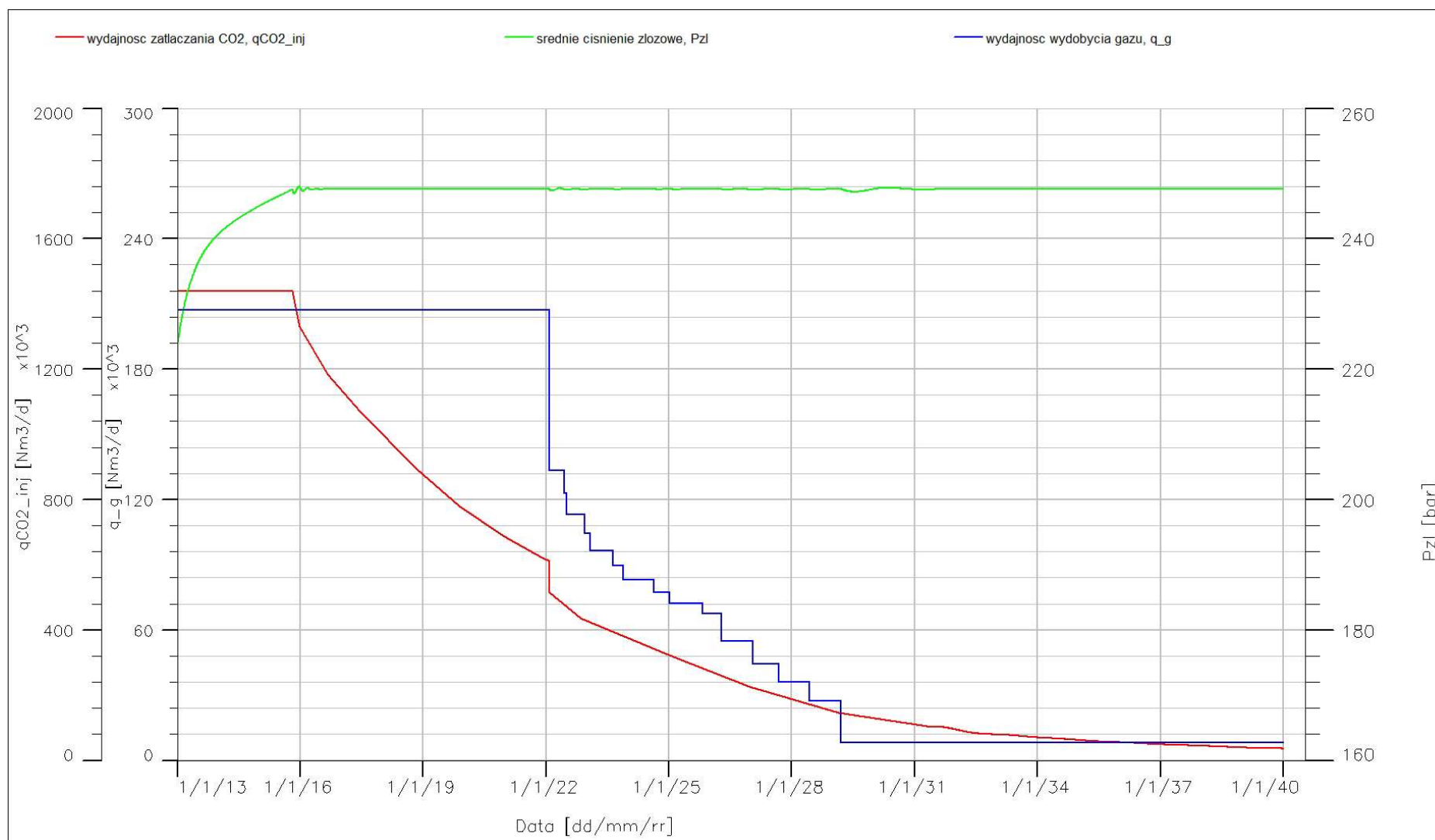
Rys. 4.21. Złoże Łąka. Prognoza procesu sekwestracji CO₂.Wariant II.1. Sumaryczna ilość załaczanego CO₂, wydobytego gazu i pojemność zmagazynowanego CO₂.



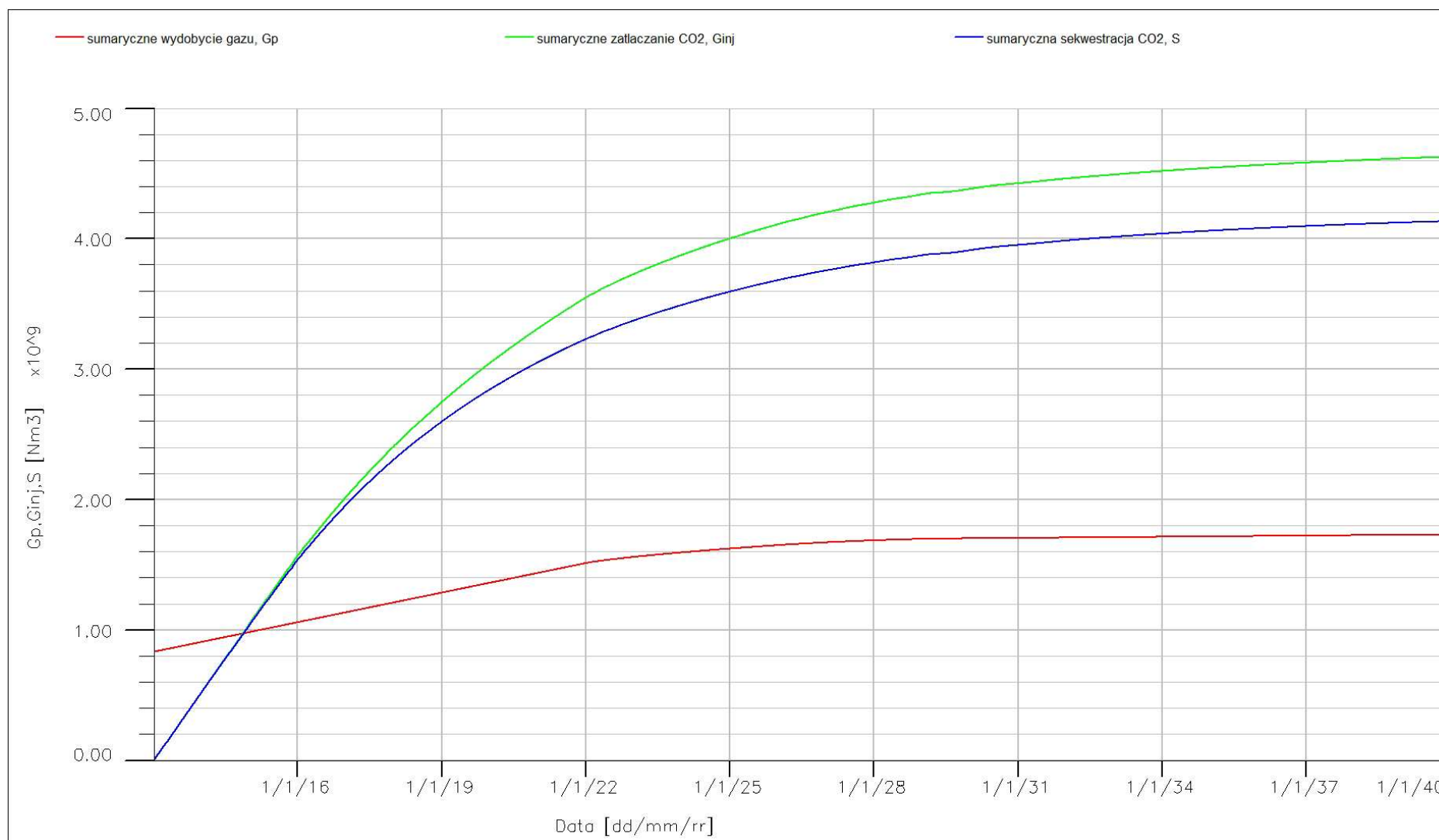
Rys. 4.22. Złoże Łąka. Prognoza procesu sekwestracji wg Wariantu II.1. Rozkład koncentracji CO_2 w fazie gazowej na koniec fazy 1 zatłaczania.



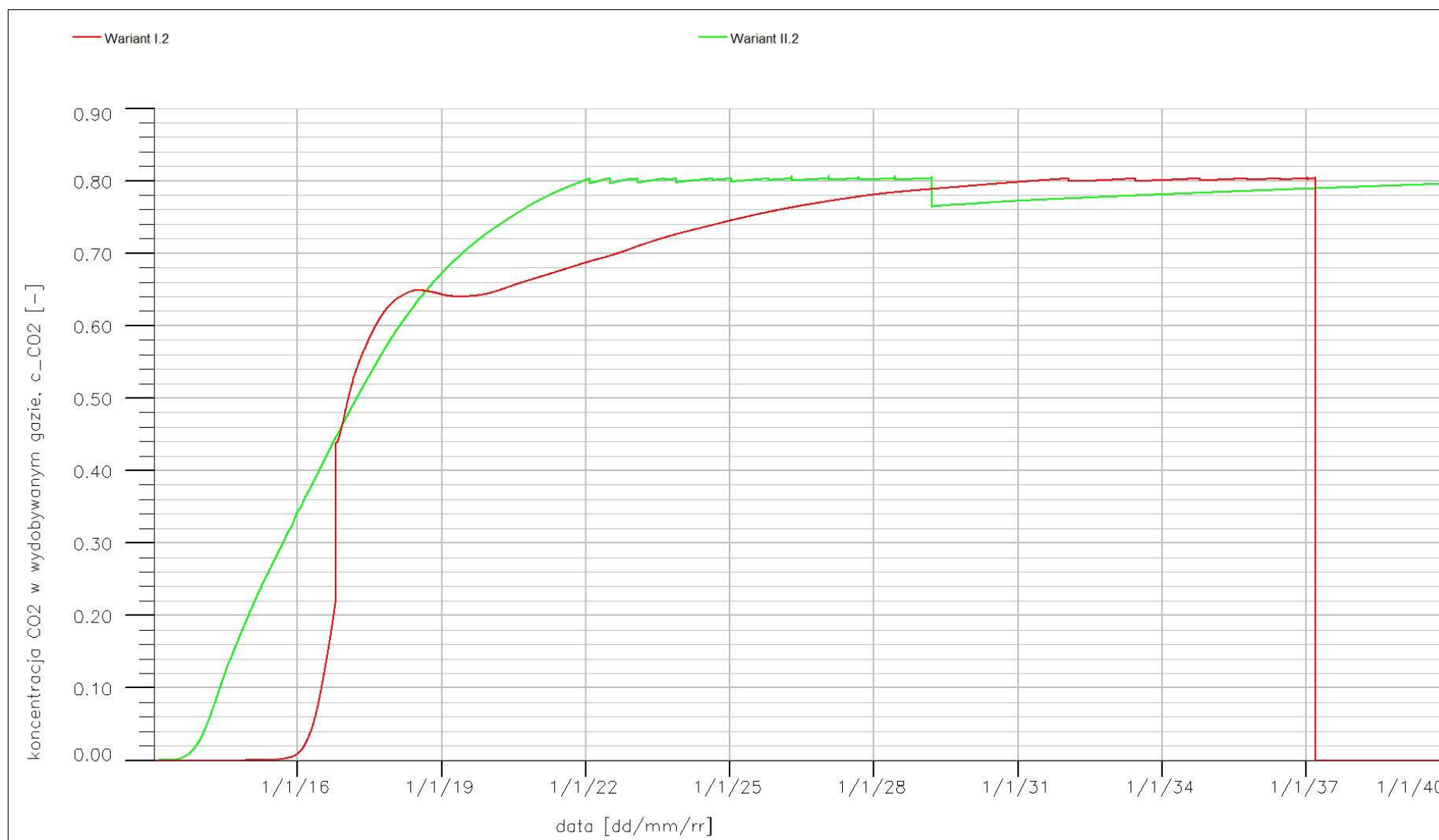
Rys. 4.23. Złoże Łąka. Prognoza procesu sekwestracji wg Wariantu II.1. Rozkład koncentracji CO_2 w fazie gazowej po fazie 2 (XII 2040) na koniec zatłaczania.



Rys. 4.24. Złoże Łąka. Prognoza procesu sekwestracji. Wariant II.2. Wydajność załaczania CO₂, wydobywanie gazu ze złoża i średnie ciśnienie złożowe.



Rys. 4.25. Złoże Łąka. Prognoza procesu sekwestracji CO₂.Wariant II.2. Sumaryczna ilość załaczanego CO₂, wydobytego gazu i pojemność zmagazynowanego CO₂.



Rys. 4.26. Złoże Łąka. Porównanie Wariantów I.2 i II.2. Koncentracja CO₂ w wydobywanym gazie.

5. Podsumowanie i wnioski

W pracy skonstruowano dynamiczny model symulacyjny struktury złoża gazu ziemnego Łąka w utworach cenomanu i malmu w celu oszacowania możliwości składowania w niej CO₂, oceny jej pojemności sekwestracyjnej i efektów wspomaganego wydobycia gazu.

W tym celu:

1. Zaimplementowano statyczny model geologiczny struktury i uzupełniono powstały model symulacyjny o model płynu złożowego i modele transportu płynu w skałach złożowych w tym rozpuszczalność CO₂ w solance.
2. Przeprowadzono kalibrację modelu symulacyjnego na podstawie danych eksploatacyjnych z 29-letniej historii eksploatacji złoża.
3. Wykonano wielowariantowe symulacje prognostyczne procesu sekwestracji CO₂ w strukturze złoża Łąka.

Przeprowadzone symulacje i analiza ich wyników pozwalają na sformułowanie następujących wniosków:

1. Struktura posiada ograniczoną pojemność sekwestracyjną z powodu dużej aktywności wód złożowych objawiających się wysokim ciśnieniem złożowym pomimo stosunkowo wysokiego szczypania jej zasobów gazu ziemnego.
2. Maksymalizacja pojemności sekwestracyjnej wymaga zastosowania strategii jednoczesnego zatłaczania CO₂ i wydobycia gazu ziemnego pozostałego w złożu.
3. Wykorzystanie istniejącego systemu odwiertów do realizacji powyższej strategii wymaga rekonstrukcji odwiertów wydobywczych położonych w szczycie struktury i przystosowania peryferyjnych odwiertów zawodnionych do zatłaczania CO₂.
4. Szczegółowy wybór odwiertów zatłaczających spośród odwiertów peryferyjnych istniejących na złożu wykazuje stosunkowo niewielki wpływ na końcową pojemność sekwestracyjną struktury.

5. Pojemność sekwestracyjna w istotny sposób zależy od ciśnienia złożowego na koniec fazy zatłaczania – jednak przekroczenie pierwotnego ciśnienia złożowego o więcej niż 5% grozi ucieczką gazu w kierunku południowo-wschodnim poprzez zlokalizowaną tam strukturę „siodła”.
6. Ilościowe wyniki wariantów do punktu 4 i 5 podano w tabeli poniżej.

Wariant	Pojemność sekwestracji CO ₂		Dodatkowe wydobywanie gazu rodzimego
	mld Nm ³	Mt	mln Nm ³
I.1 4 odwierty zatłaczające $P_{\max} = P_{\text{ini}}$	2.24	4.16	405
I.2 4 odwierty zatłaczające $P_{\max} = 105\% P_{\text{ini}}$	4.24	7.89	444
II.1 9 odwiertów zatłaczających $P_{\max} = P_{\text{ini}}$	2.18	4.07	387
II.2 9 odwiertów zatłaczających $P_{\max} = 105\% P_{\text{ini}}$	4.13	7.70	405

6. Literatura

- [1]. Wiesław Szott i zespół. „Program wspomagania wydobycia ropy i gazu z krajowych złóż przy zastosowaniu zatłaczania CO₂” INiG Krosno, 2012.
- [2]. Petrel 2009.2. Eclipse 300, v 2010.1 firmy GeoQuest Schlumberger.
- [3]. Program PVTSim 16 firmy Calsep.
- [4]. Marcin Warnecki, „Rozpuszczalność CO₂ i rodzimych gazów ziemnych w solance złożowej”, Nafta-Gaz, styczeń 2010.